

GRAVITY

Première science

Journée 2018 OCA/Collège de France

Guy Perrin



Lundi 14 mai 2018

Génèse du projet GRAVITY

- 2004 :
 - rapport de l'implementation committee du VLTI : *Reference missions for PRIMA*
 - F. Delplancke, M. Gai, **R.Genzel**, A. Glindemann, **F. Eisenhauer**, **T. Ott**, **T. Paumard**, **G. Perrin** (coordinateur), J.U. Pott, J. Surdej, O. Von der Lühe
 - Plusieurs sujets dont **GC** + **AGN**
- 2005 : réunion MPE-LESIA : décision de proposer un projet commun dimensionné pour le Centre Galactique
- 2006 : sélection de GRAVITY pour une phase A

Consortium GRAVITY



Le consortium GRAVITY

Frank Eisenhauer, Guy Perrin, Wolfgang Brandner, Christian Straubmeier , Karine Perraut , Antonio Amorim , Markus Schöller, Reinhard Genzel, Pierre Kervella , Myriam Benisty, Sebastian Fischer , Laurent Jocou, Paulo Garcia, Gerd Jakob, Stefan Gillessen, Yann Clénet , Armin Boehm, Constanza Araujo-Hauck, Jean-Philippe Berger, Jorge Lima, Roberto Abuter, Oliver Pfuhl, Thibaut Paumard, Casey P. Deen, Michael Wiest , Thibaut Moulin, Jaime Villate, Gerardo Avila, Marcus Haug, Sylvestre Lacour , Thomas Henning, Senol Yazici , Axelle Nolot , Pedro Carvas, Reinhold Dorn, Stefan Kellner, Eric Gendron, Stefan Hippler, Andreas Eckart , Sonia Anton, Yves Jung, Alexander Gräter, Élodie Choquet , Armin Huber, Narsireddy Anugu , Philippe Gitton, Eckhard Sturm, Frédéric Vincent , Sarah Kendrew, Stefan Ströbele, Clemens Kister, Pierre Fédou, Ralf Klein, Paul Jolley, Magdalena Lippa, Vincent Lapeyrère, Natalia Kudryavtseva, Christian Lucuix, Ekkehard Wiprecht, Frédéric Chapron, Werner Laun, Leander Mehrgan, Thomas Ott, Gérard Rousset , Rainer Lenzen, Marcos Suarez, Reiner Hofmann, Jean-Michel Reess, Vianak Naranjo, Pierre Haguenauer, Oliver Hans, Arnaud Sevin , Udo Neumann, Jean-Louis Lizon, Markus Thiel, Claude Collin , Jose Ricardo Ramos, Gert Finger, David Moch, Daniel Rouan, Ralf-Rainer Rohloff, Markus Wittkowski, Richard Davies, Denis Ziegler , Karl Wagner, Henri Bonnet, Katie Dodds-Eden, Frédéric Cassaing, Pengqian Yang, Florian Kerber, Sebastian Rabien, Nabih Azouaoui, Frederic Gonte, Josef Eder, Vartan Arslanyan, Willem-Jan de Wit, Frank Hausmann, Roderick Dembet, Luca Pasquini, Harald Weisz, Pierre Lena, Mark Casali, Bernard Lazareff, Zoltan Hubert, Jean-Baptiste Le Bouquin



Le consortium GRAVITY

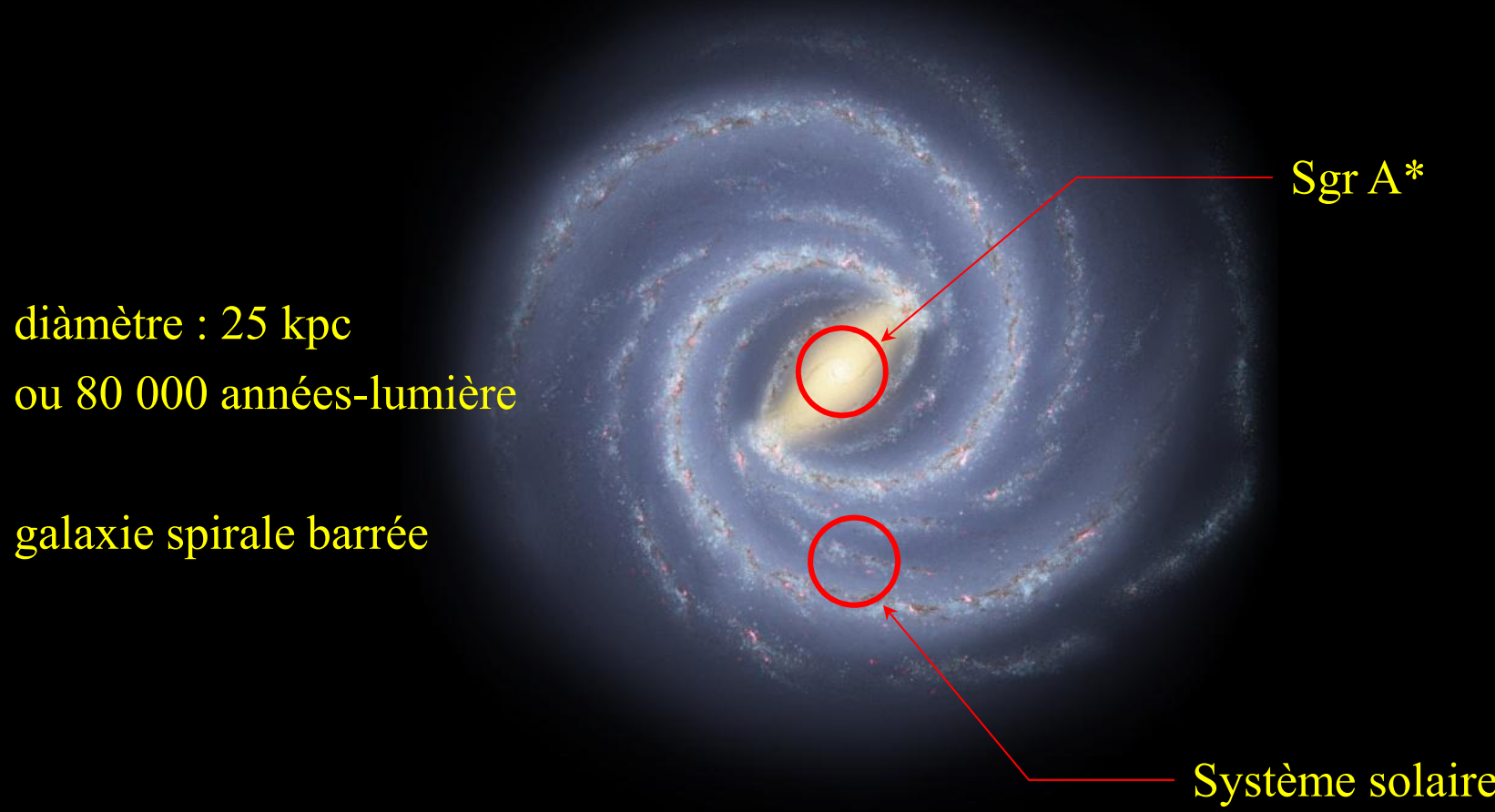
Frank Eisenhauer, **Guy Perrin**, Wolfgang Brandner, Christian Straubmeier , **Karine Perraut** , Antonio Amorim , Markus Schöller, Reinhard Genzel, **Pierre Kervella** , **Myriam Benisty**, Sebastian Fischer , **Laurent Jocou**, Paulo Garcia, Gerd Jakob, Stefan Gillessen, **Yann Clénet** , Armin Boehm, Constanza Araujo-Hauck, Jean-Philippe Berger, Jorge Lima, Roberto Abuter, Oliver Pfuhl, **Thibaut Paumard**, Casey P. Deen, Michael Wiest , **Thibaut Moulin**, Jaime Villate, Gerardo Avila, Marcus Haug, **Sylvestre Lacour** , Thomas Henning, Senol Yazici , Axelle Nolot , Pedro Carvas, Reinhold Dorn, Stefan Kellner, **Eric Gendron**, Stefan Hippler, Andreas Eckart , Sonia Anton, Yves Jung, Alexander Gräter, **Élodie Choquet** , Armin Huber, Narsireddy Anugu , Philippe Gitton, Eckhard Sturm, **Frédéric Vincent** , Sarah Kendrew, Stefan Ströbele, Clemens Kister, **Pierre Fédu**, Ralf Klein, Paul Jolley, Magdalena Lippa, **Vincent Lapeyrère**, Natalia Kudryavtseva, Christian Lucuix, Ekkehard Wiprecht, **Frédéric Chapron**, Werner Laun, Leander Mehrgan, Thomas Ott, **Gérard Rousset** , Rainer Lenzen, Marcos Suarez, Reiner Hofmann, **Jean-Michel Reess**, Vianak Naranjo, Pierre Haguenauer, Oliver Hans, **Arnaud Sevin** , Udo Neumann, Jean-Louis Lizon, Markus Thiel, **Claude Collin** , Jose Ricardo Ramos, Gert Finger, David Moch, **Daniel Rouan**, Ralf-Rainer Rohloff, Markus Wittkowski, Richard Davies, **Denis Ziegler** , Karl Wagner, Henri Bonnet, Katie Dodds-Eden, **Frédéric Cassaing**, Pengqian Yang, Florian Kerber, Sebastian Rabien, **Nabih Azouaoui**, Frederic Gonte, Josef Eder, **Vartan Arslanyan**, Willem-Jan de Wit, Frank Hausmann, **Roderick Dembet**, Luca Pasquini, Harald Weisz, **Pierre Lena**, Mark Casali, **Bernard Lazareff**, Zoltan Hubert, Jean-Baptiste Le Bouquin



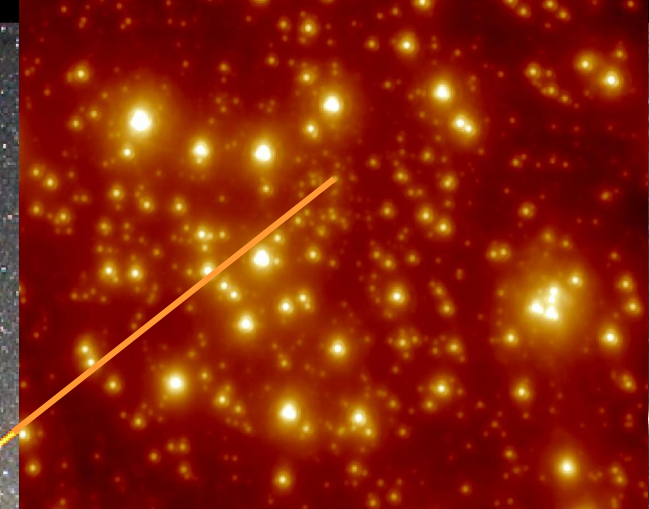
La Voie Lactée, Sgr A* et le système solaire

diàmètre : 25 kpc
ou 80 000 années-lumière

galaxie spirale barrée



Le centre de la Galaxie

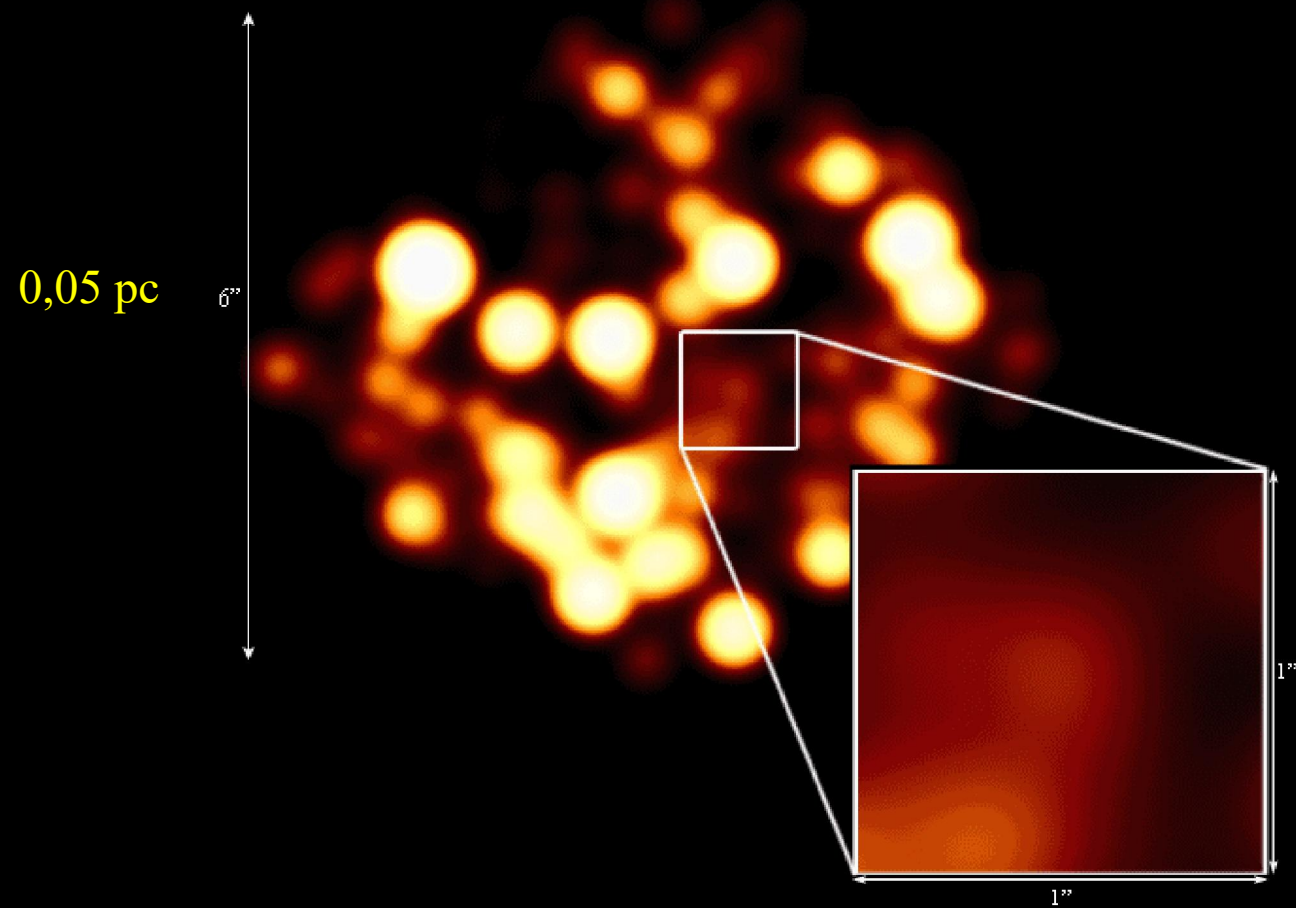


Opaque à cause de la poussière.

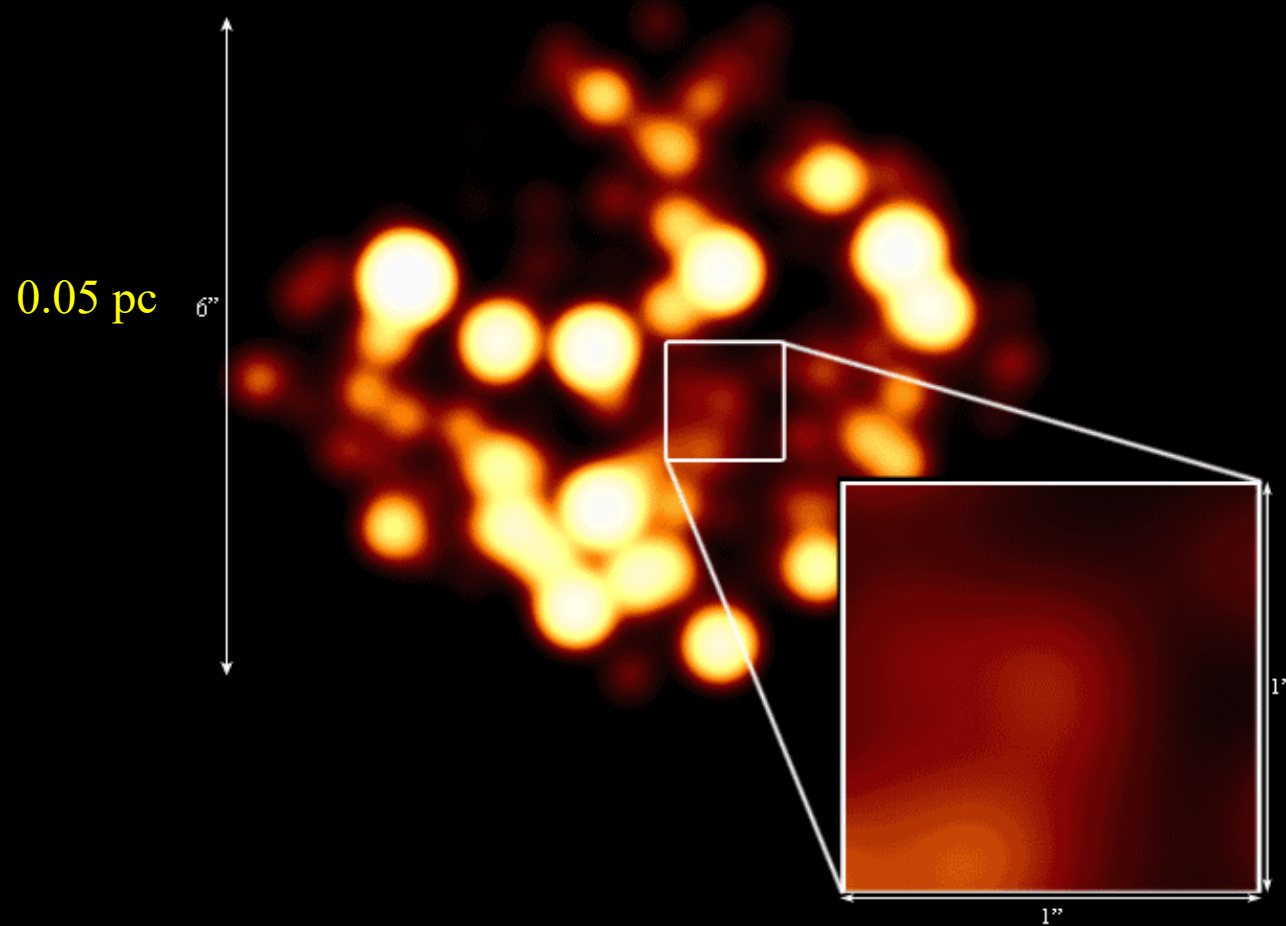
Observations avec les UT dans l'infrarouge
en bande K pour voir Sgr A* et les étoiles



Observations dans l'infrarouge proche



Besoin d'une optique adaptative infrarouge pour voir lever la confusion au Centre Galactique



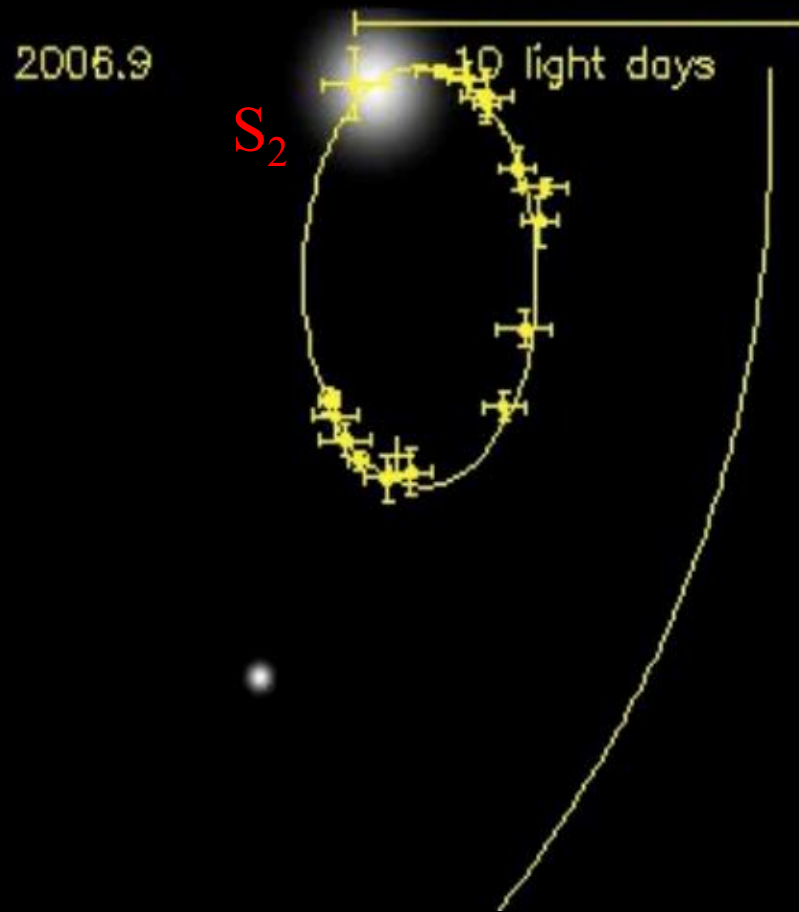
Orbite de l'étoile S₂ observée par l'optique adaptative du VLT NAOS

1992 10 light days

+ ← Sgr A*

Schödel et al. (2002)

Orbite de l'étoile S₂ observée par l'optique adaptative du VLT NACO



Schödel et al. (2002)

Calcul précis de la masse de Sgr A*

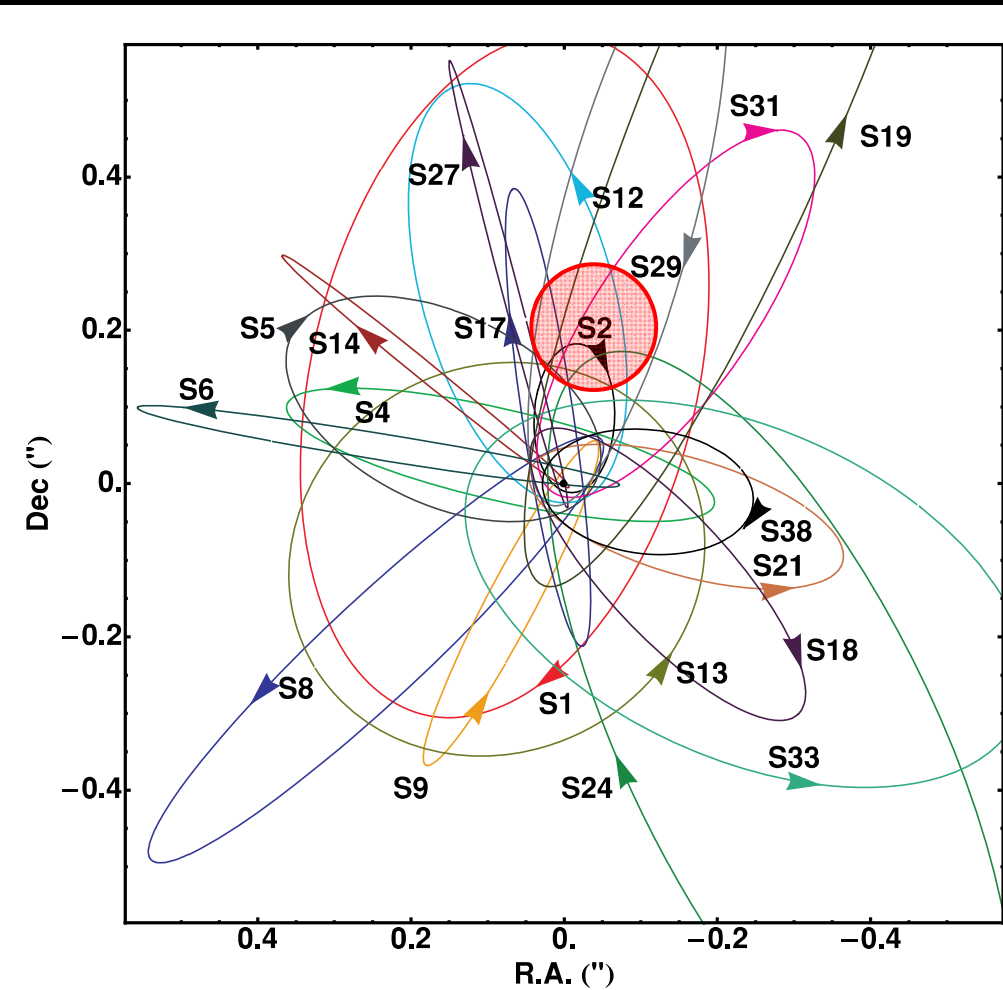
Application de la
3^{ème} loi de Kepler :

$$\frac{a^3}{T^2} = \frac{GM_{\text{Sgr A}^*}}{4\pi^2}$$



$$M_{\text{Sgr A}^*} = 4,31 \pm 0,42 \times 10^6 M_{\text{Soleil}}$$

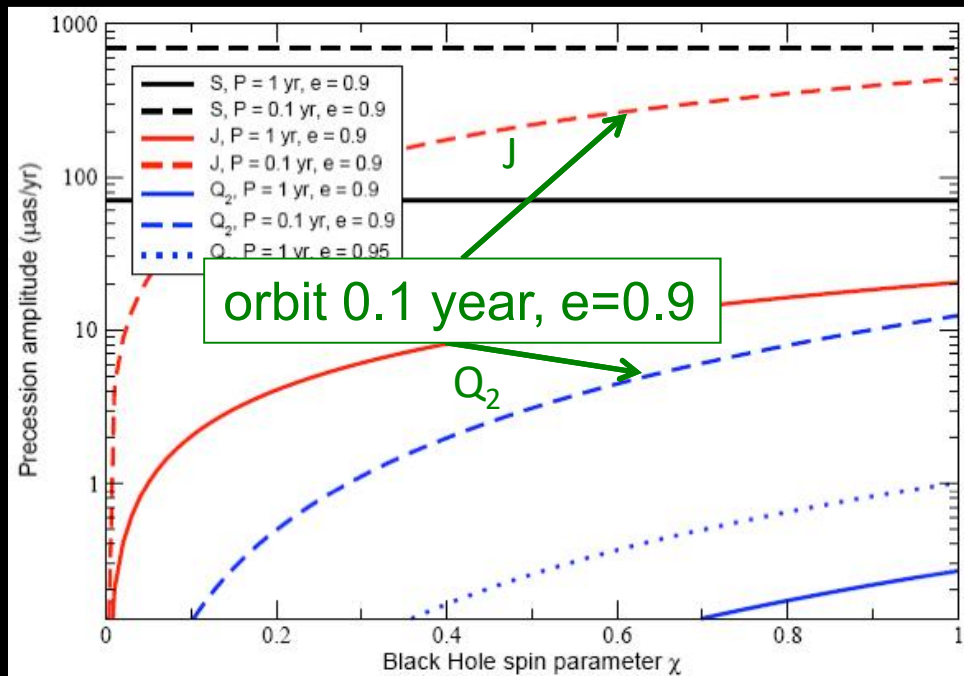
$$(d = 7,62 \pm 0,32 \text{ kpc})$$



Gillessen et al. (2009)

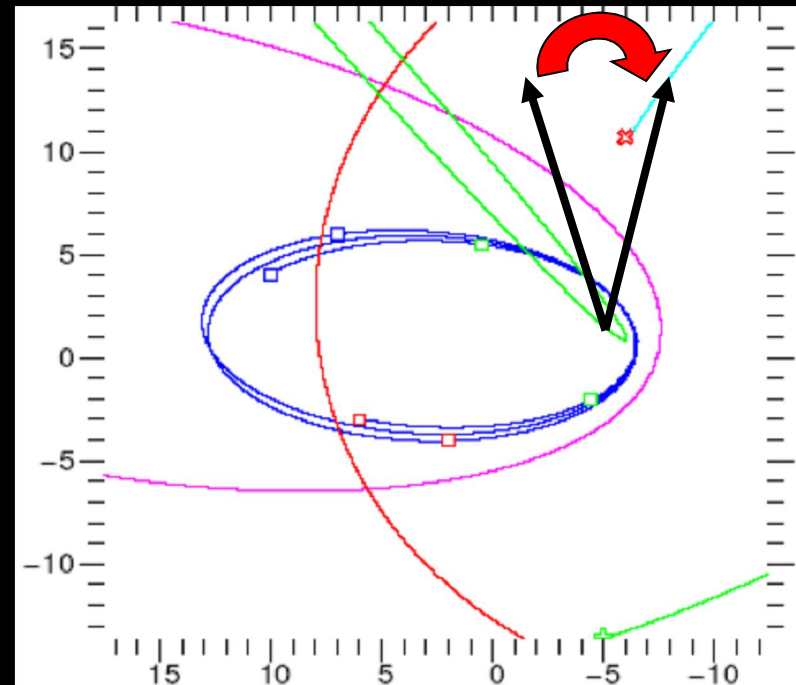
Lense-Thirring effect and precession of the quadrupolar moment

Precession of the orbital plane (precession of the angular momentum vector around the BH spin vector)



No-hair theorem by Wheeler: a black hole is fully described by 3 parameters: mass M, spin J, electric charge

Quadrupolar moment: $Q_2 = -J^2 / M$



The measurement of precession due to frame dragging should be possible in a few years with orbits of size 0.2 - 1 mpc (5 - 25 mas)

Merritt et al. (2010)

Orbites d'étoiles proches

Imagerie des 100 mas centrales en une nuit : **besoin de 4 UT et de ~ 100 m de base**

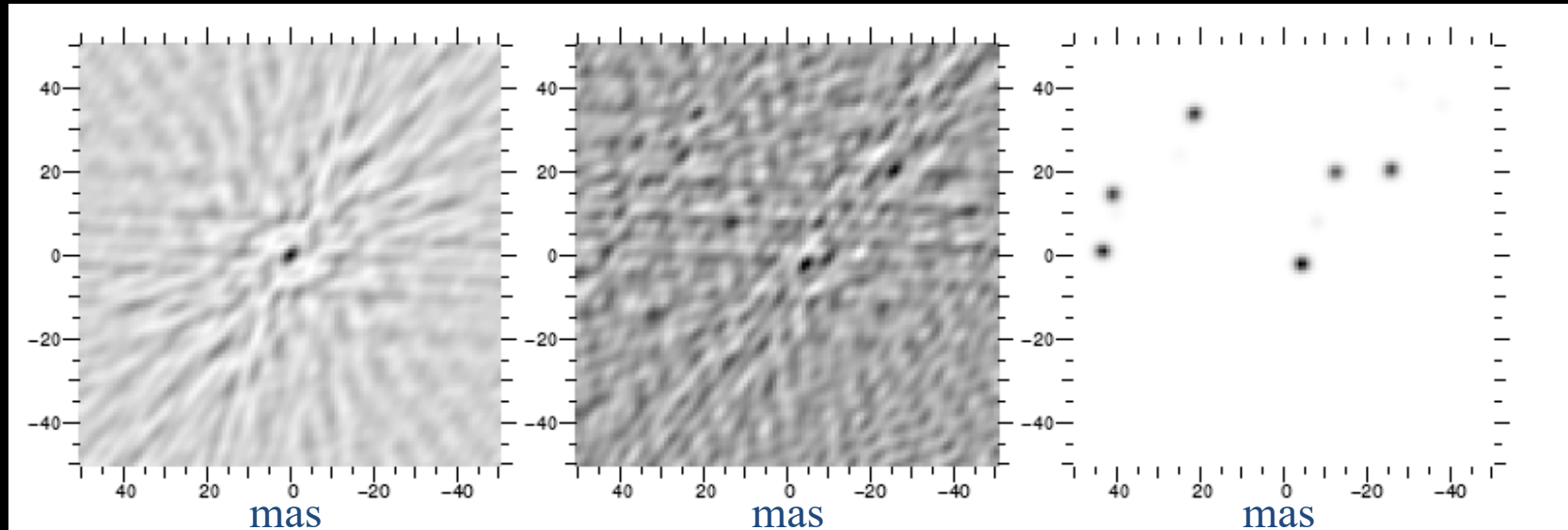


Image d'étoile de
référence
(dirty beam)

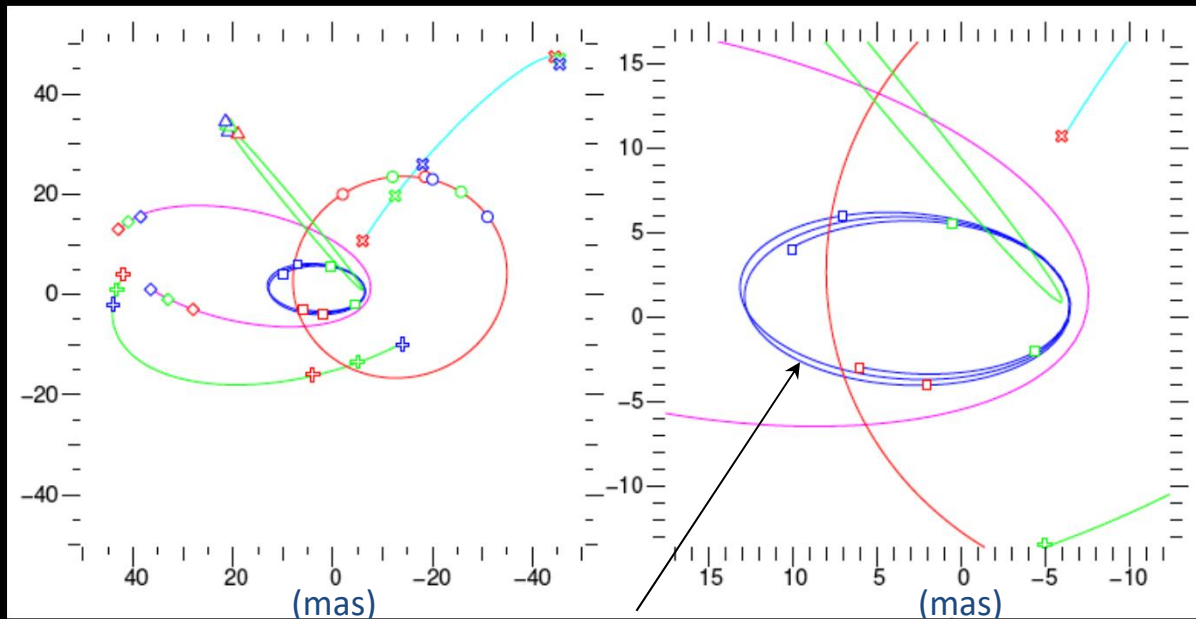
Image d'un champ de 6 étoiles
(dirty image)

Après déconvolution

Orbites d'étoiles proches

Imagerie des 100 mas centrales en une nuit : besoin de 4 UT et de ~ 100 m de base

Après 15 mois d'observation

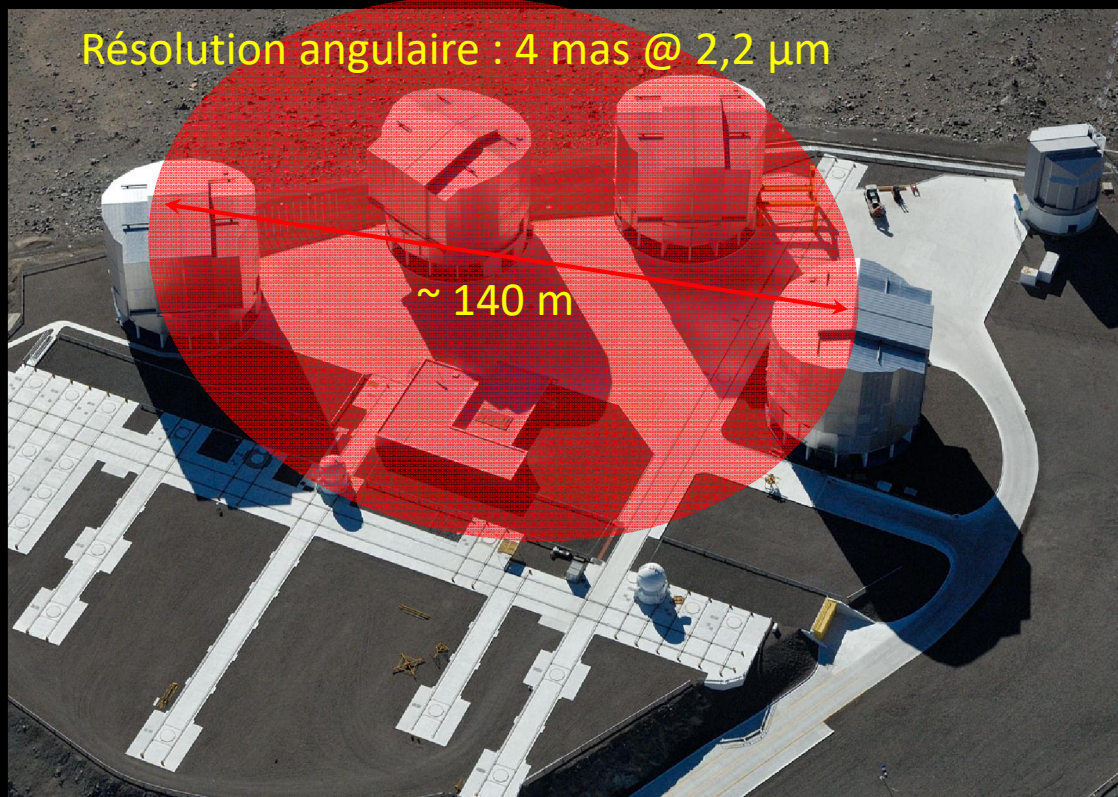


Précession relativiste dans la métrique de Schwarzschild

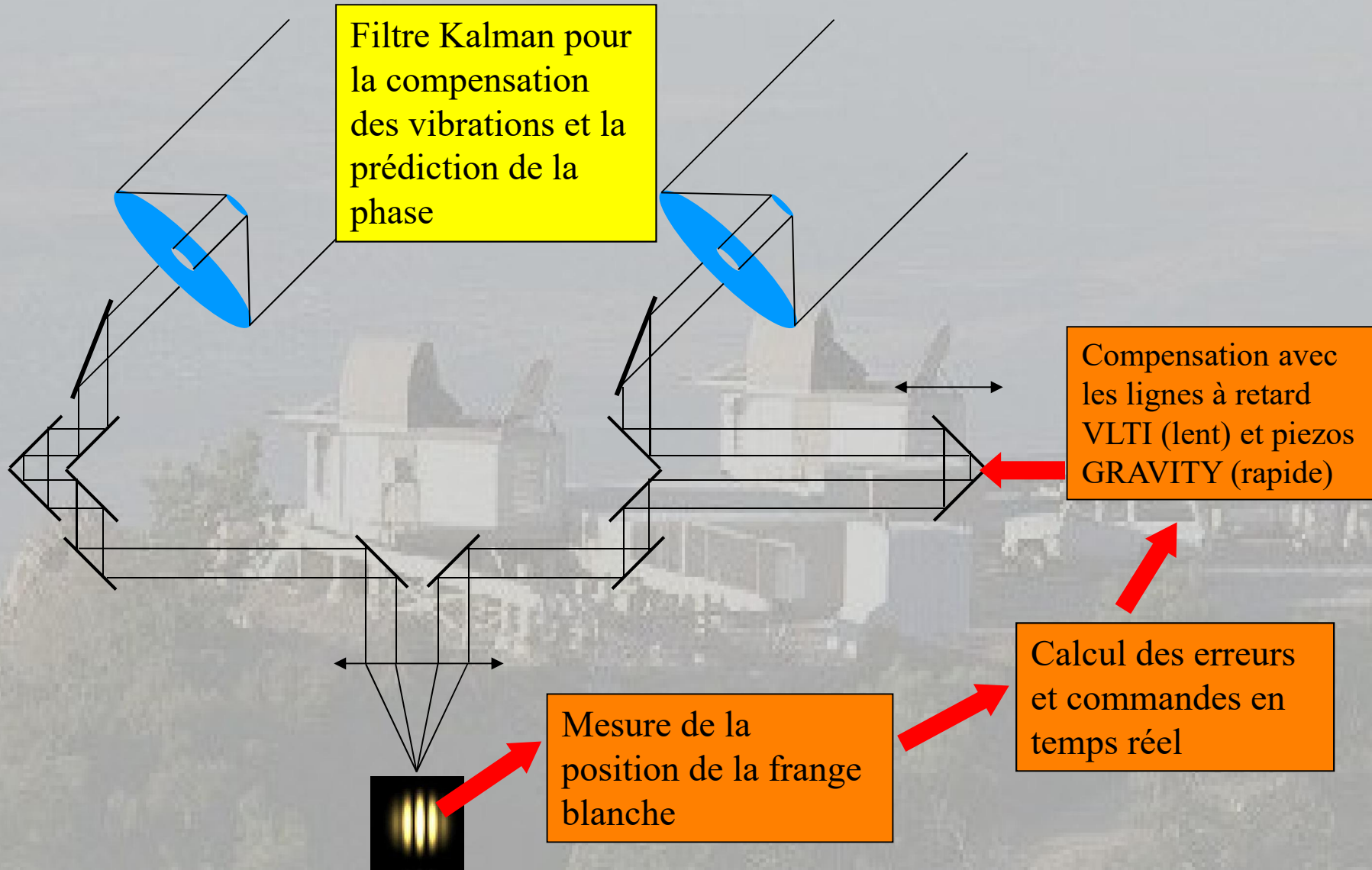
Mesure du spin dans la métrique de Kerr

Mesure du moment quadrupolaire ?

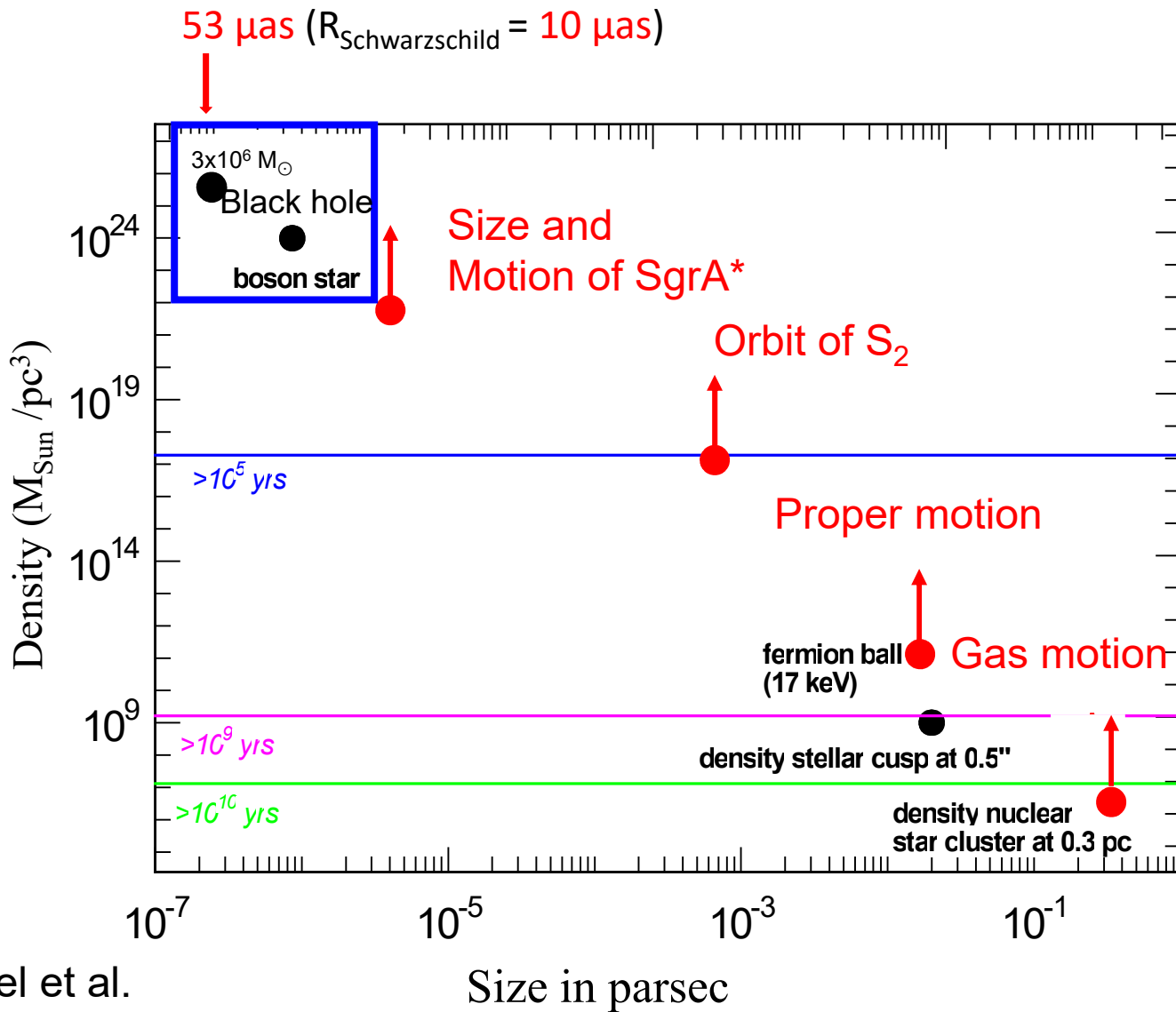
GRAVITY combine les 4 UT (8,20 m) ainsi que les 4 AT
(1,80 m) du VLTI



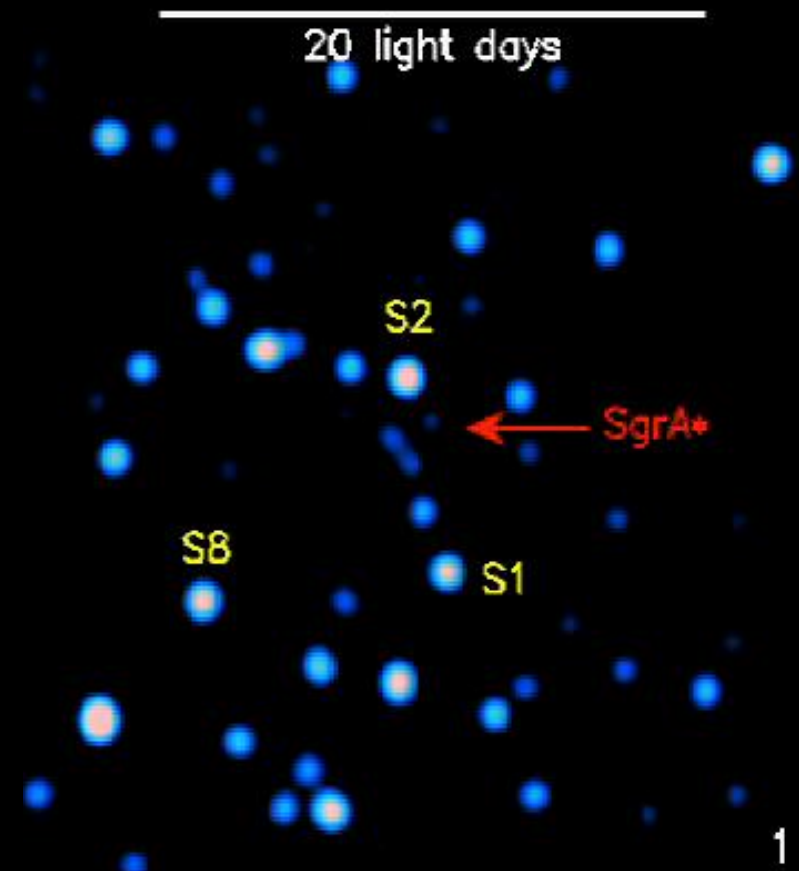
Besoin d'un suiveur de franges pour stabiliser la ddm (≤ 300 nm), intégrer (≥ 100 s) et R=4000



Nature de Sgr A* ?



Les sursauts au Centre Galactique



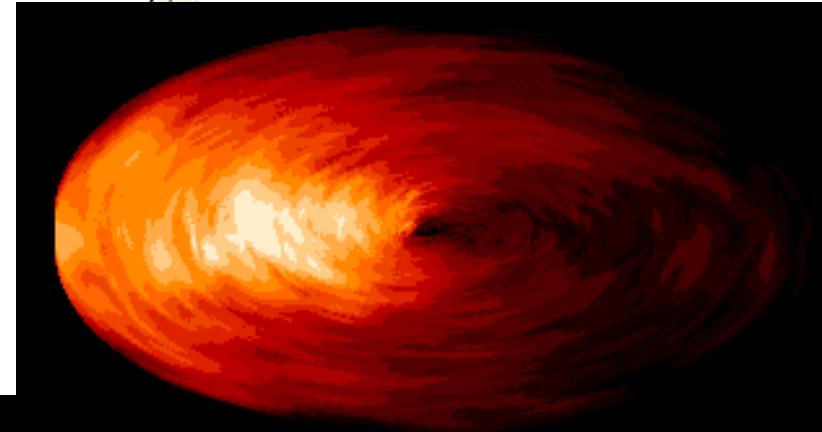
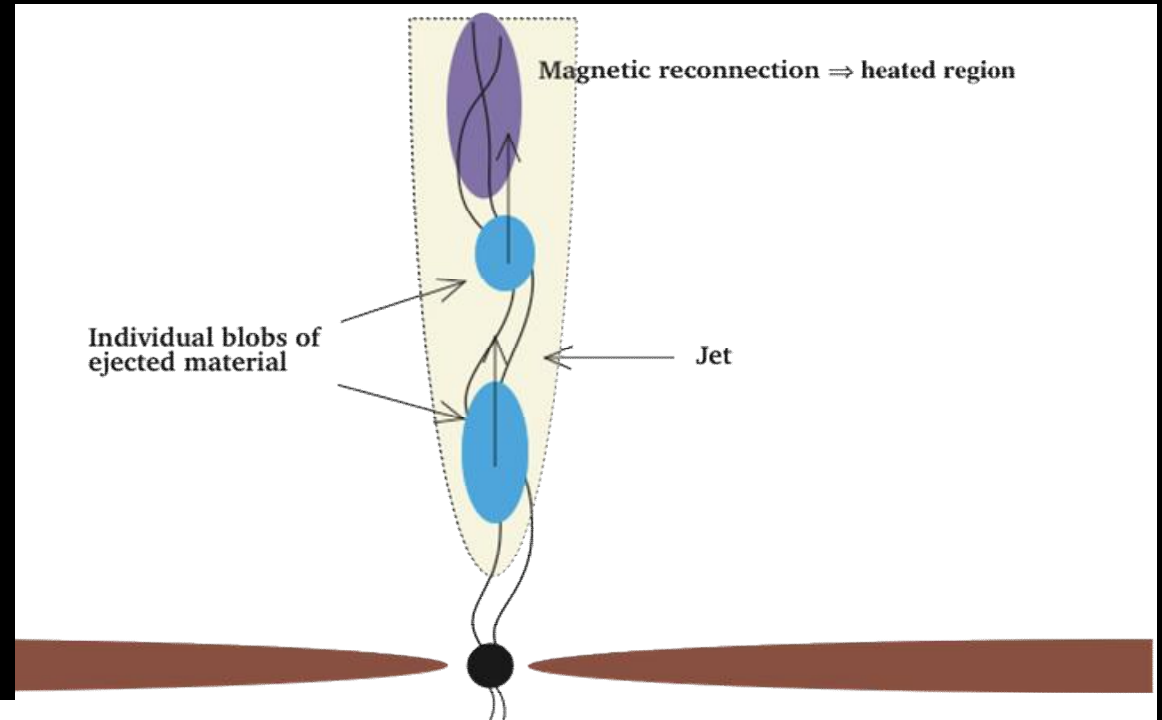
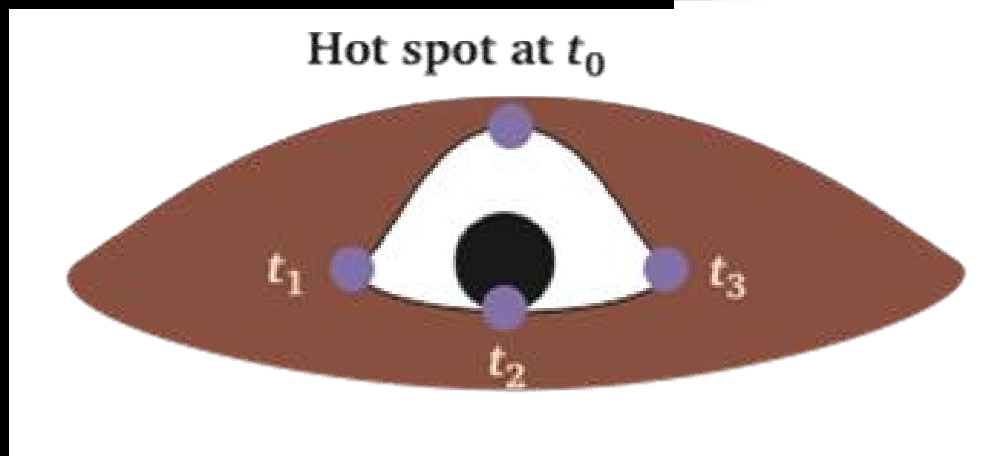
Genzel et al. (2003)

Les sursauts au Centre Galactique

Trois scenarios :

- reconnection magnétique dans les jets
- points chauds sur la dernière orbite circulaire stable
- fluctuations statistiques

Échelle caractéristique :
quelques 10 μ as



Exploration de la dernière orbite circulaire stable

$10 \mu\text{as} = 1 R_s$

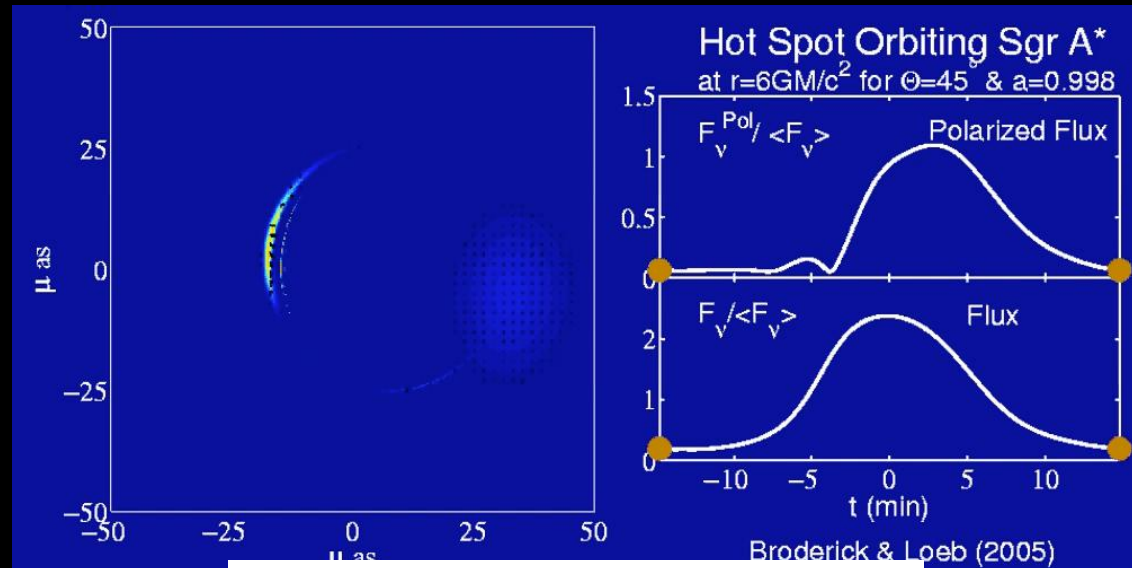


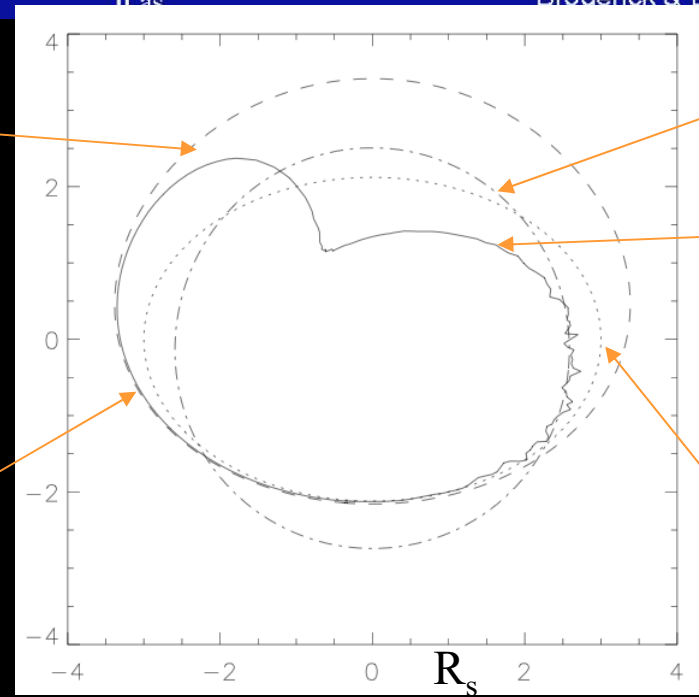
Image primaire

Image totale

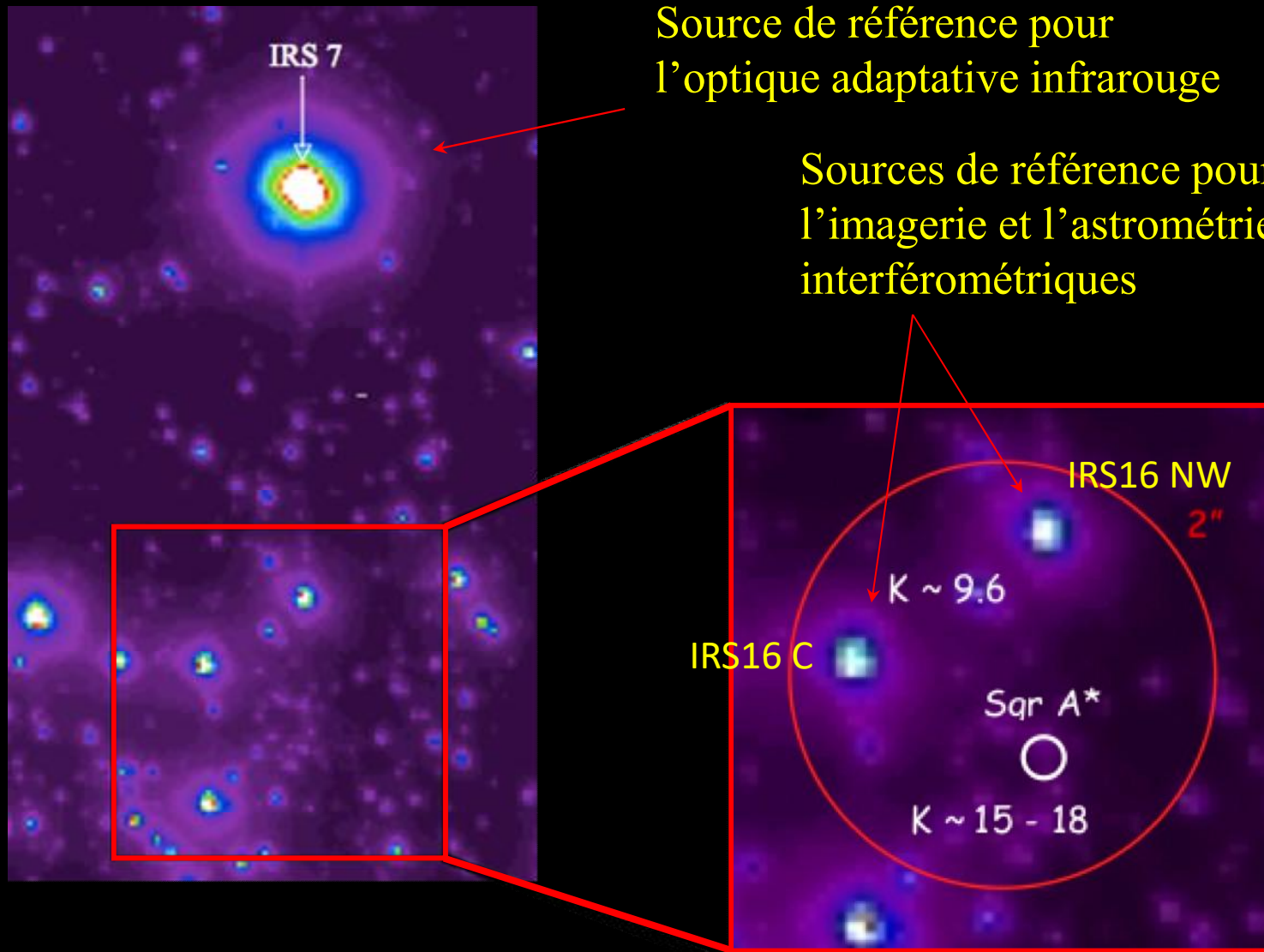
Image secondaire

Orbite relativiste

Orbite newtonienne inclinée à 45°



Principe de la mesure GRAVITY



Astrométrie interférométrique

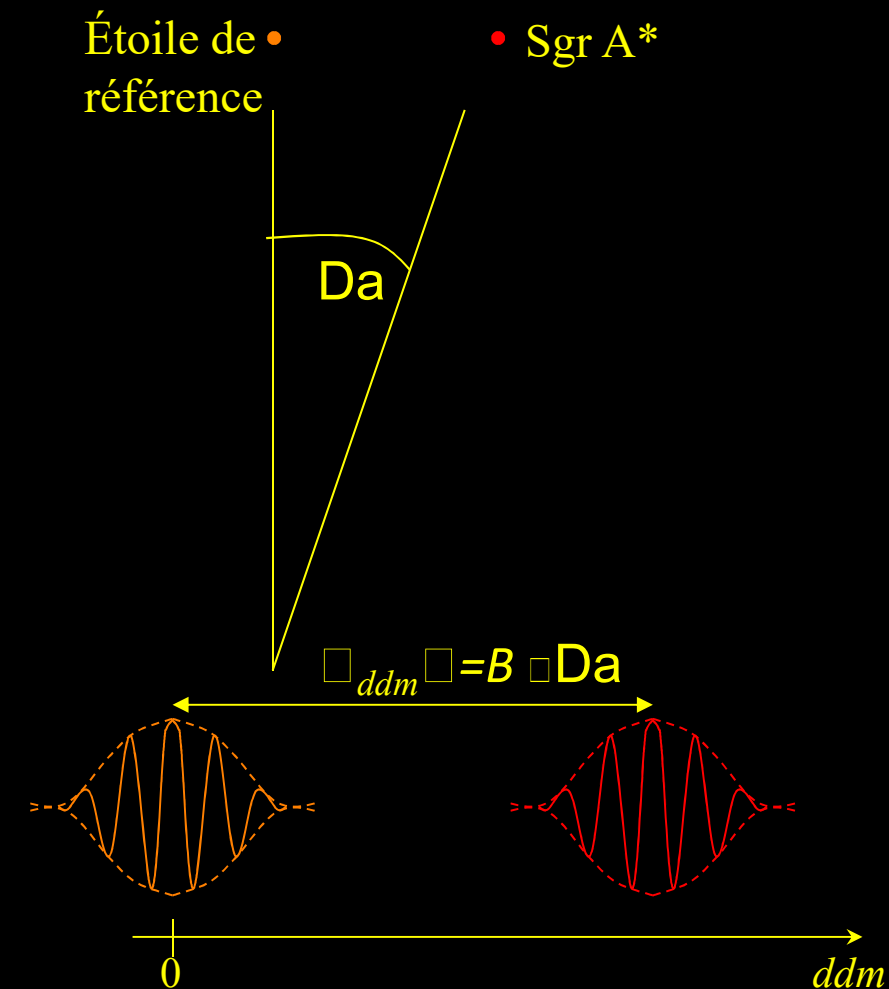
La distance entre les interférogrammes vaut :

$$D_{ddm} = B \Delta D_a$$

D'où :

$$\Delta D_a = D_{ddm} / B$$

Avec une précision de 5 nm sur D_{ddm} pour une base de 100 m, la précision sur ΔD_a est de 10 μas.



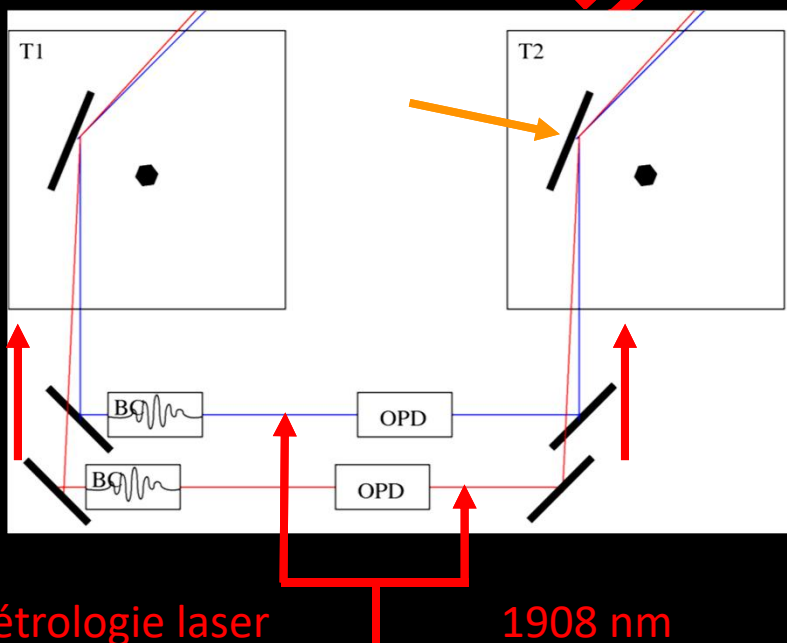
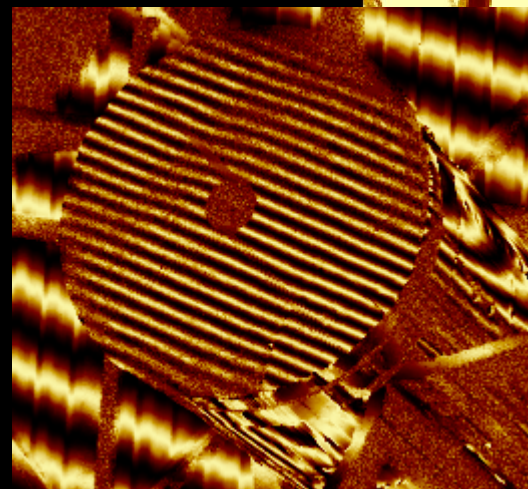
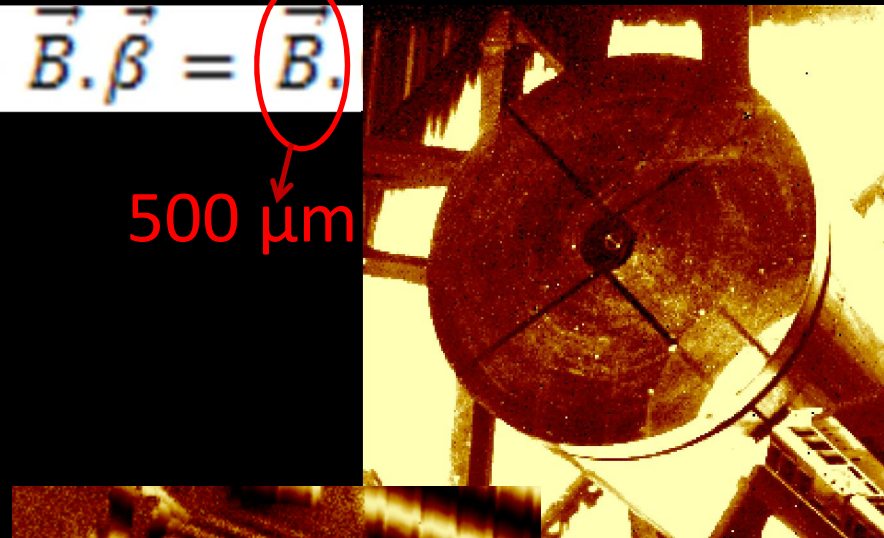
Métrologie

5 nm

$$\delta OPD = \vec{B} \cdot \vec{\alpha} - \vec{B} \cdot \vec{\beta} = \vec{B} \cdot \vec{\delta}$$



500 μm



Métrie laser

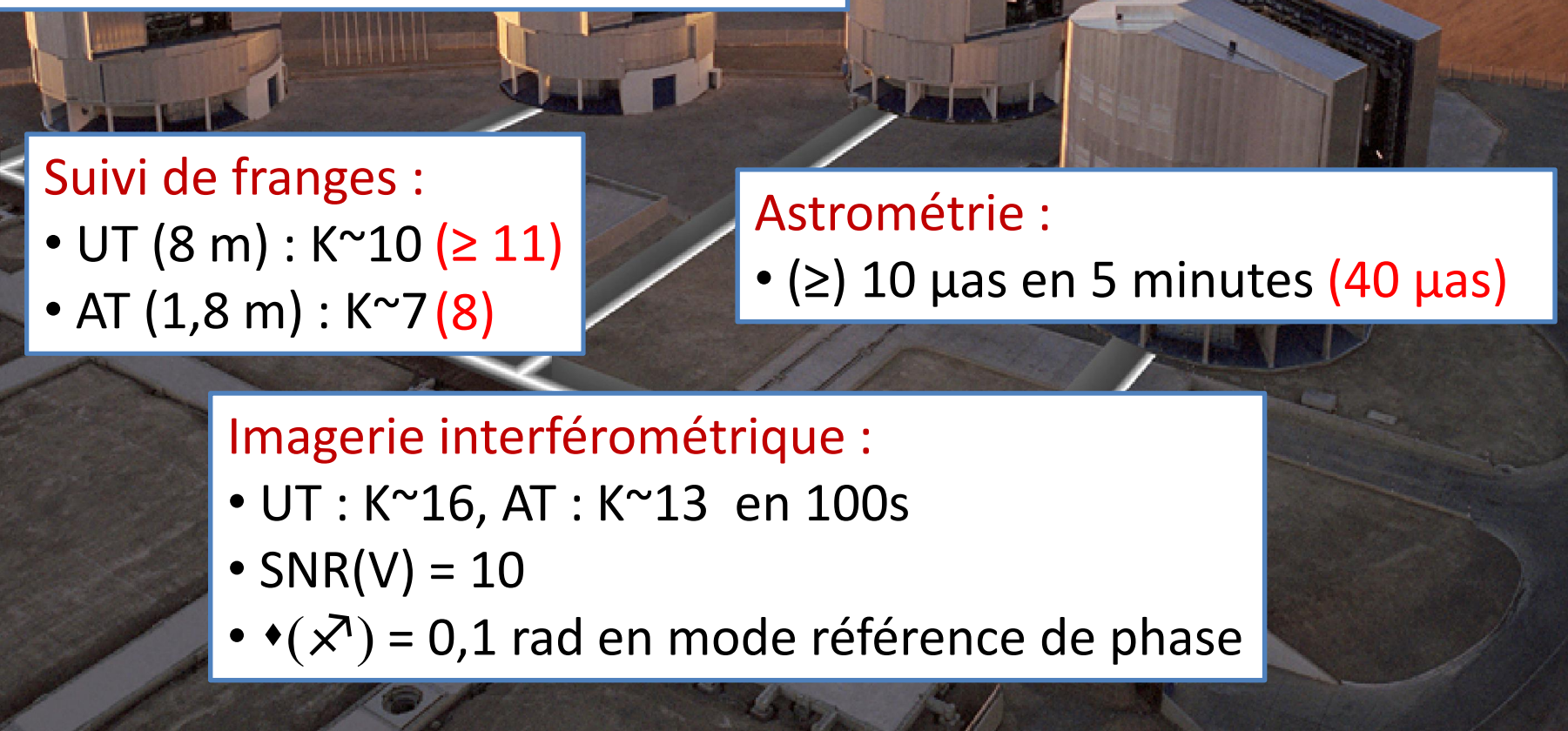
1908 nm

Un rétro-interféromètre produit des franges d'interférence dans le plan du M2.

Les chiffres-clés de GRAVITY

Étapes :

- lancement du projet : 2006
- Final Design Review : fin 2011 – début 2012
- Installation sur le VLTI en juil.-sept. 2015
- 1^{ère} lumière AT : octobre 2015
- 1^{ère} lumière UT : mai 2016



Résolutions spectrales :

- suiveur de franges : R=22
- voie scientifique : R=22, 500, 4000

Suivi de franges :

- UT (8 m) : K~10 (≥ 11)
- AT (1,8 m) : K~7 (8)

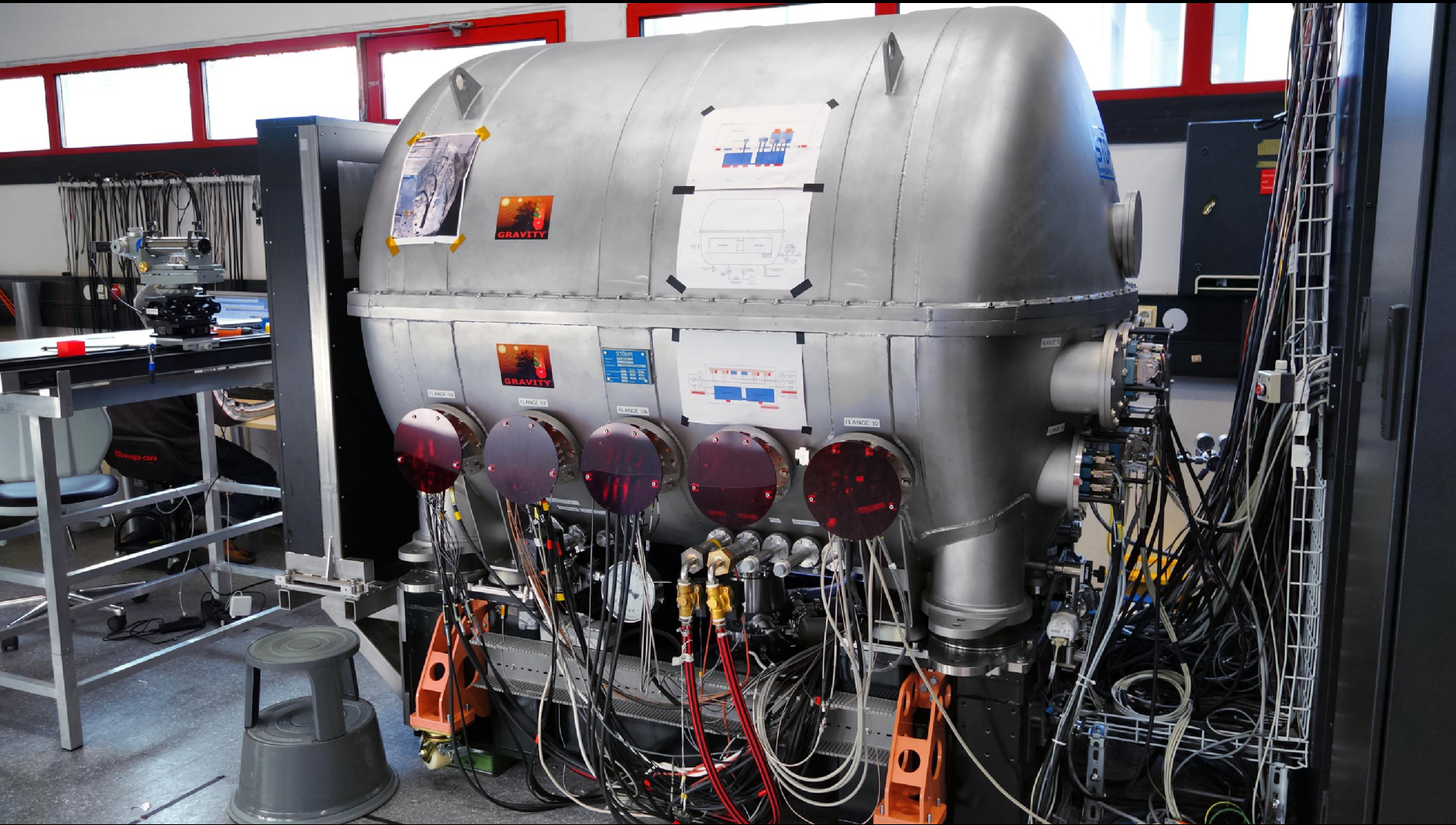
Astrométrie :

- (\geq) 10 μ as en 5 minutes (40 μ as)

Imagerie interférométrique :

- UT : K~16, AT : K~13 en 100s
- SNR(V) = 10
- $\Delta(\vec{x}) = 0,1$ rad en mode référence de phase

Cryostat GRAVITY à MPE (Garching 2013-2015)



GRAVITY : instrument distribué sur le VLTI

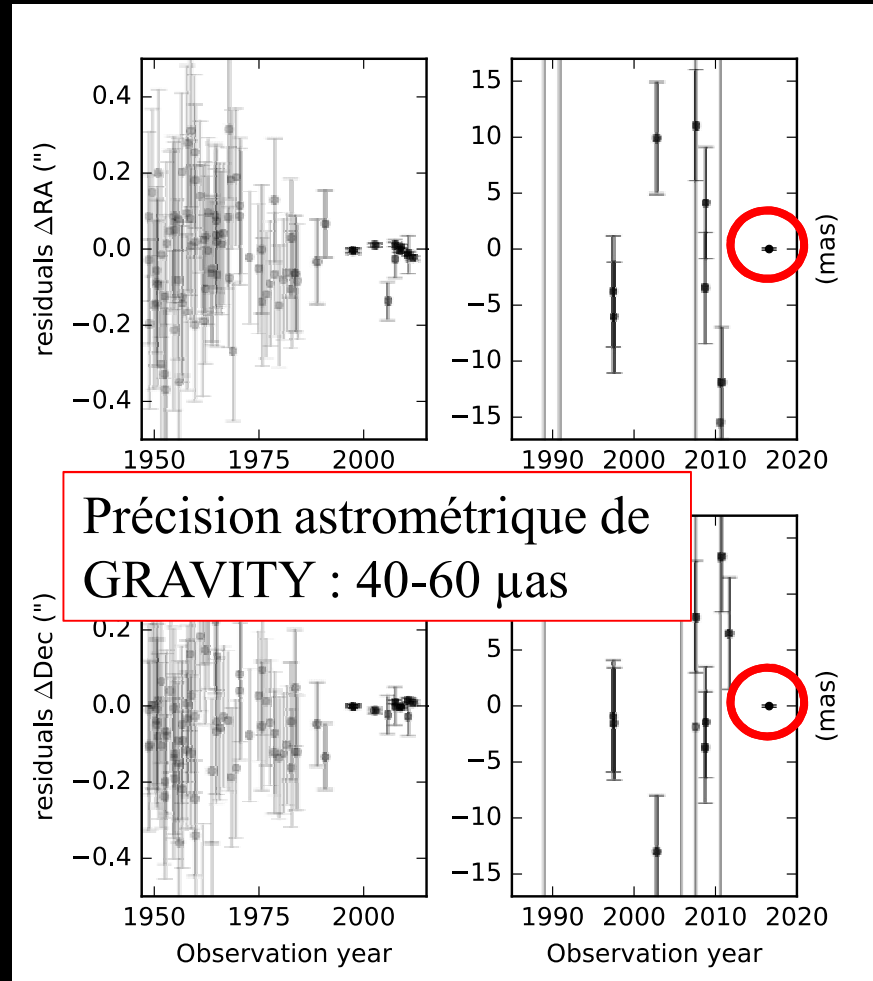
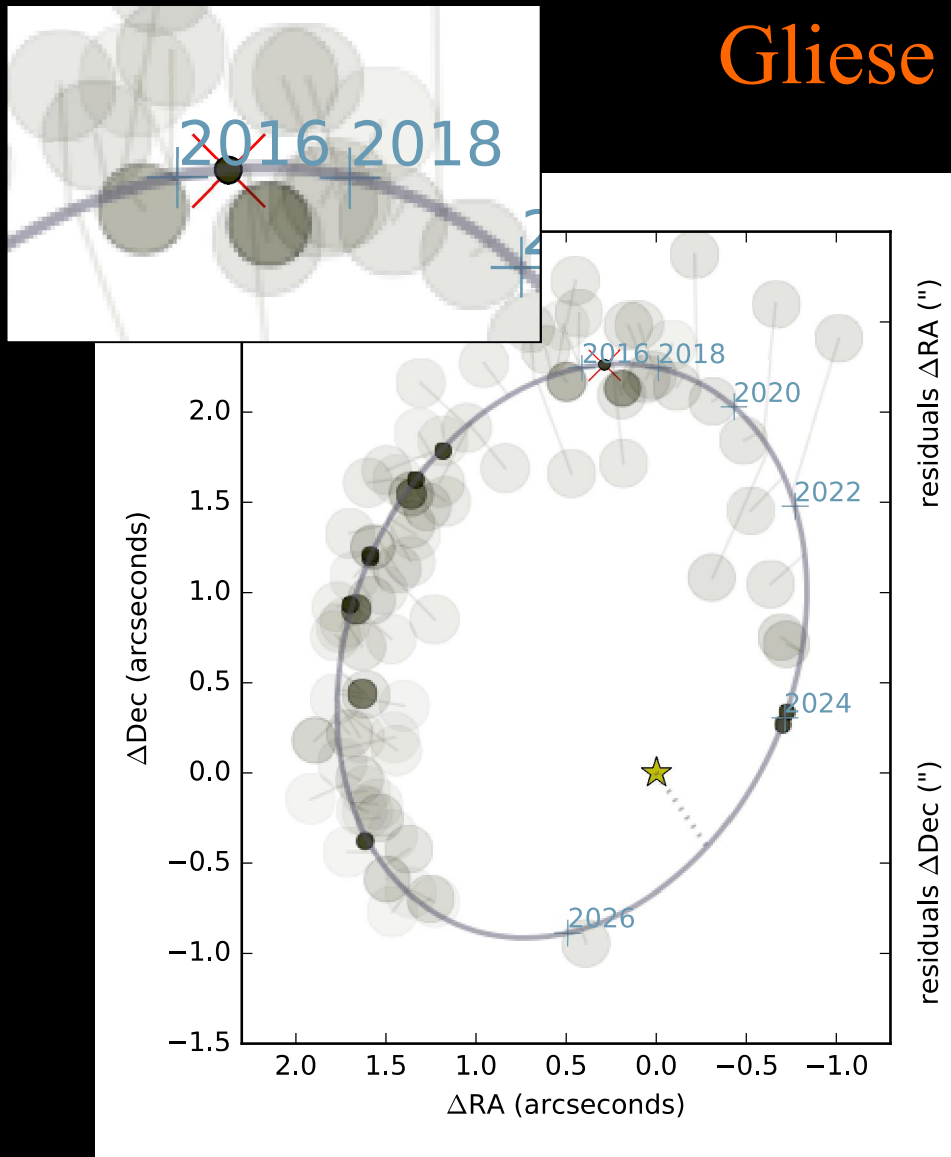


Au recombinateur viennent s'ajouter :

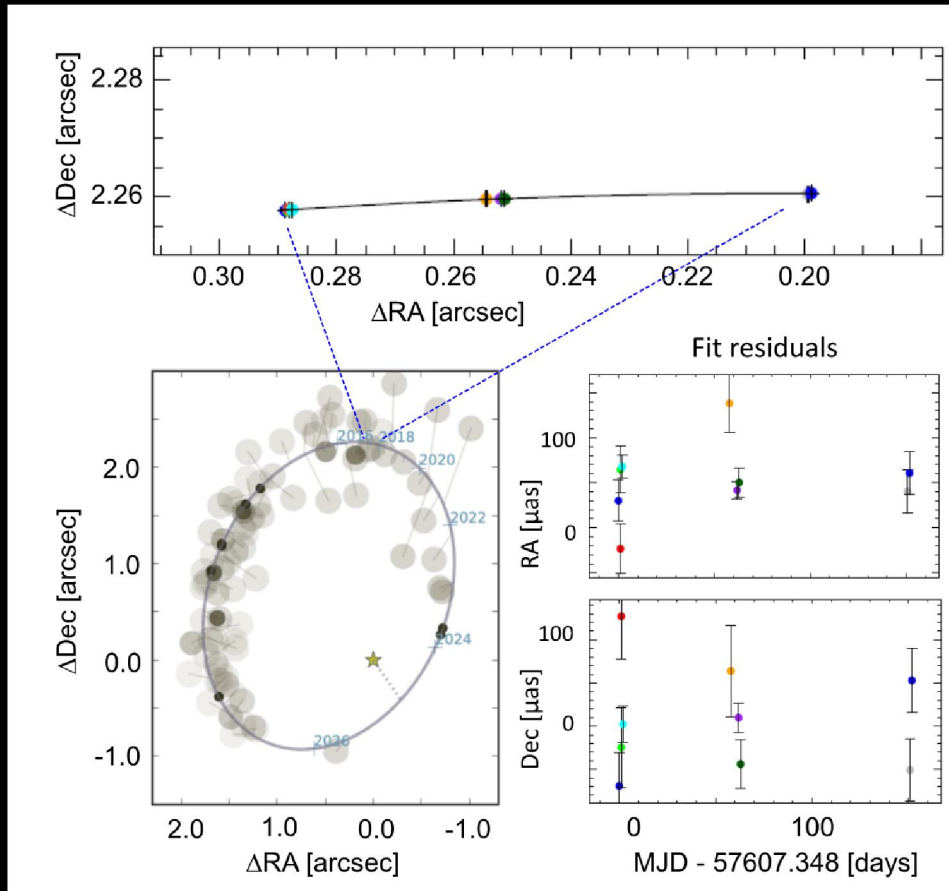
- les 4 optiques adaptatives infrarouges (UT)
- les capteurs métrologiques sur les télescopes (UT et AT) pour l'astrométrie très haute précision

Exemples de mesure montrant les capacités nouvelles de GRAVITY

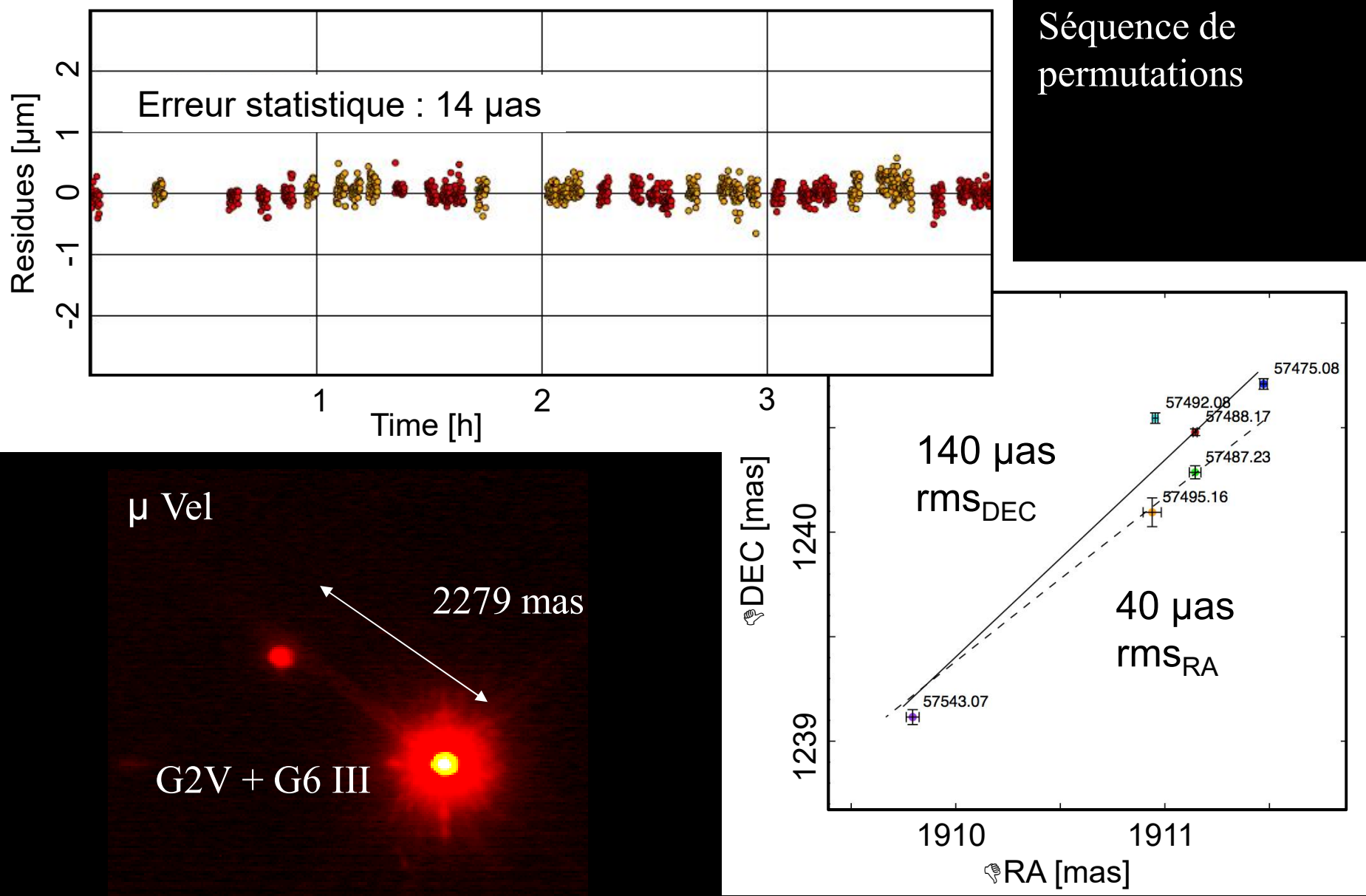
Gliese 65AB



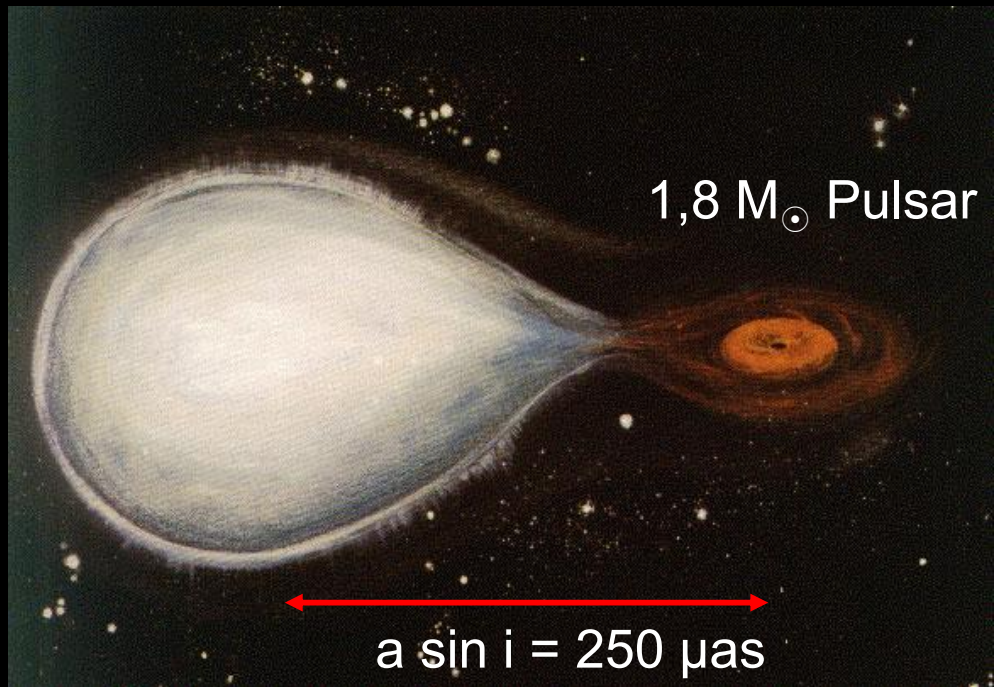
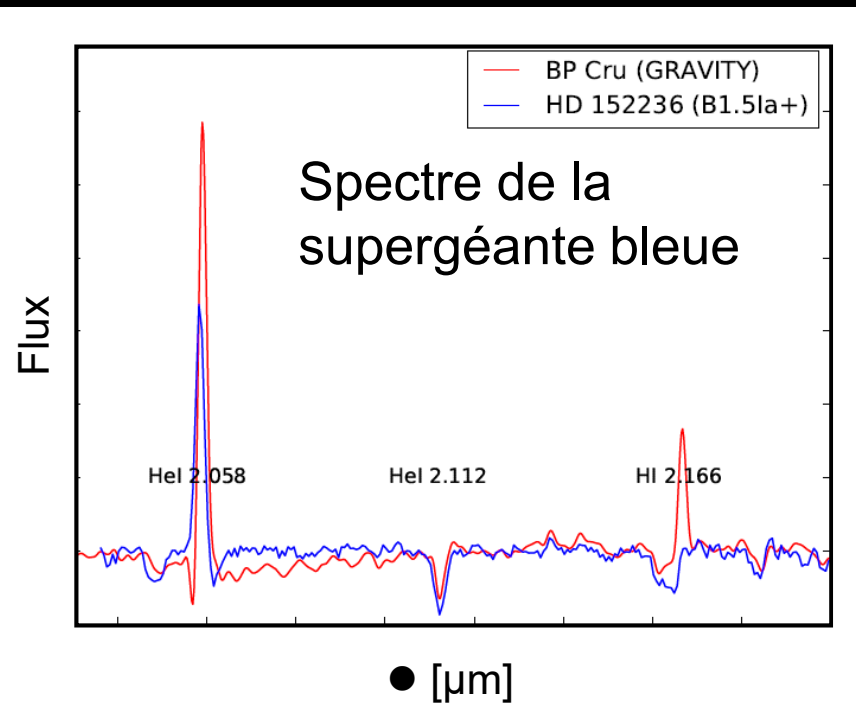
Gliese 65AB



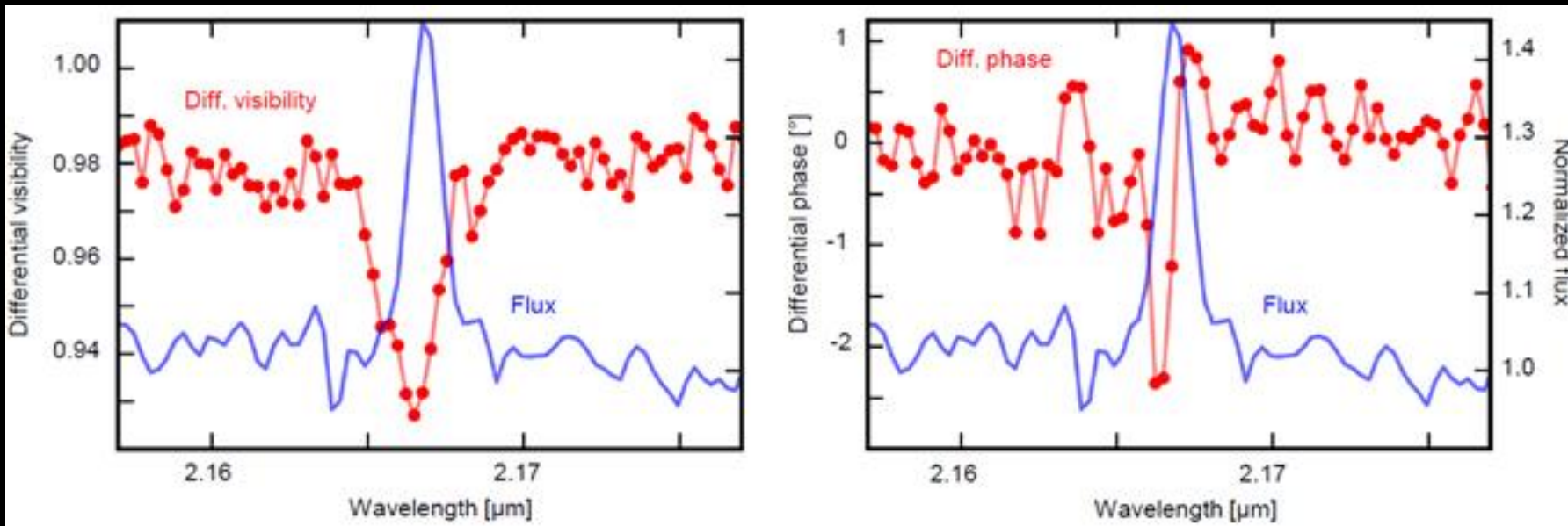
Étalonnage pour l'astrométrie haute précision



Binaire X : BP Cru



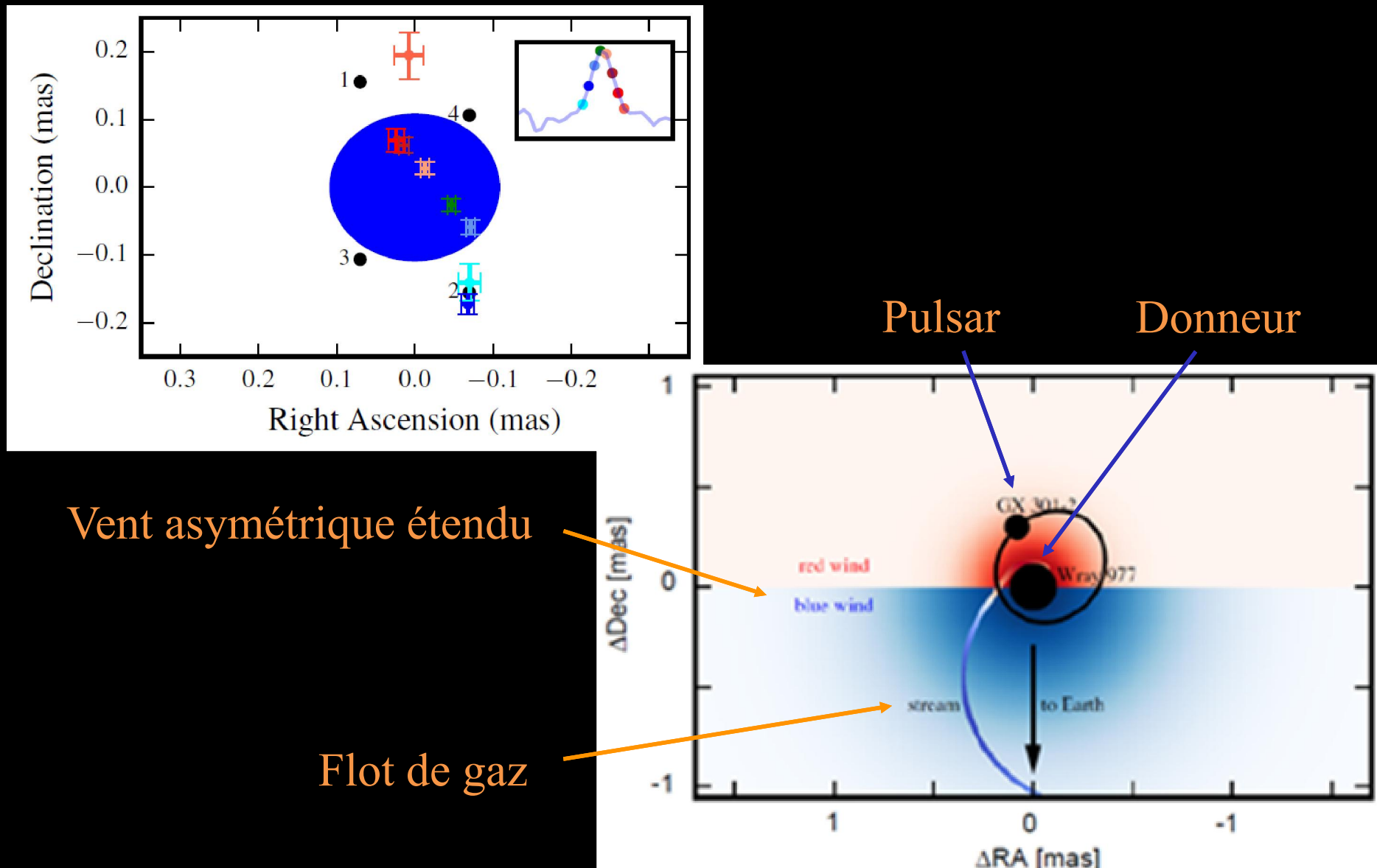
Binaire X : BP Cru



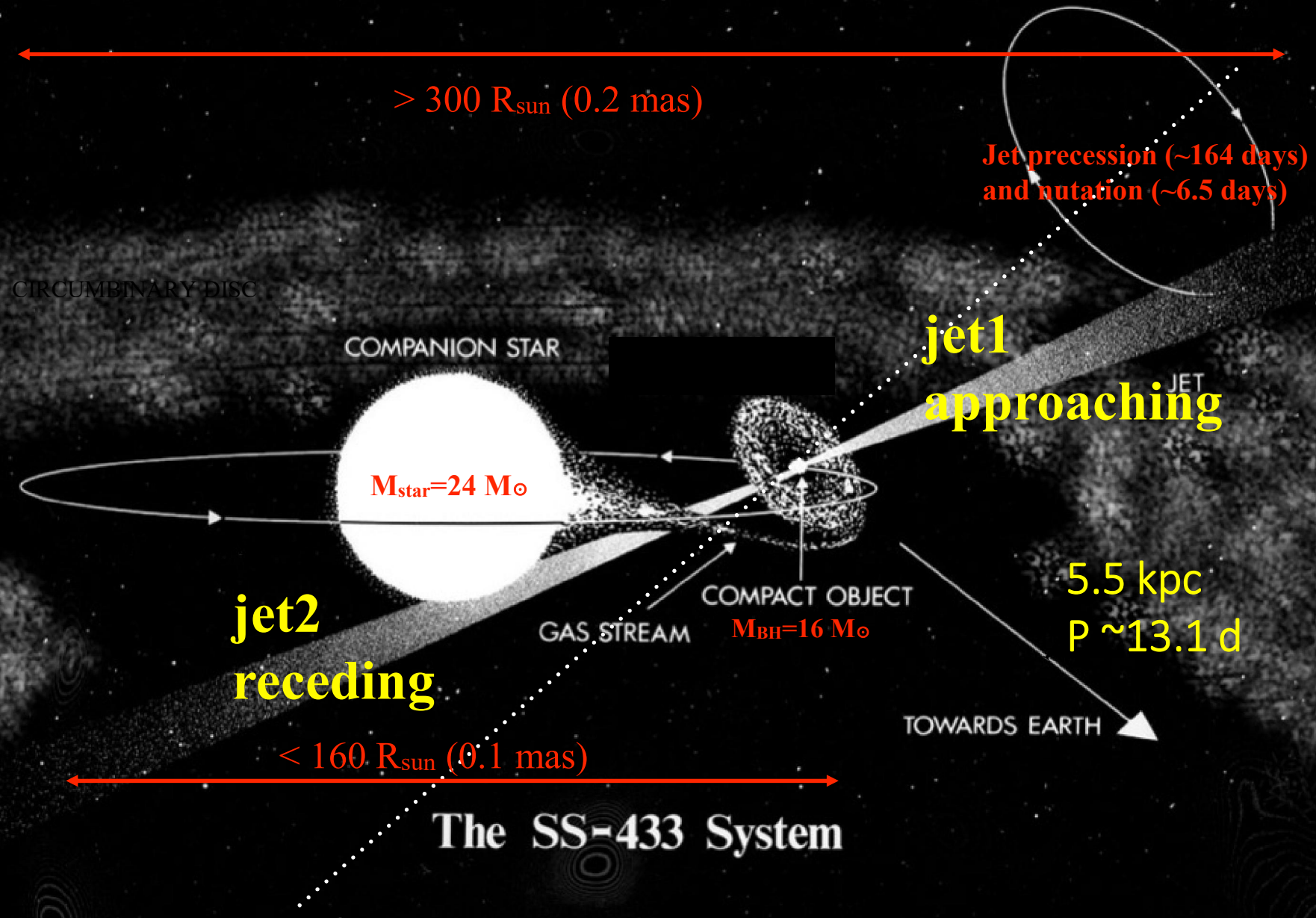
Les amplitudes relatives de visibilité révèlent un vent étendu et asymétrique.

Les phases différentielles révèlent un gradient de position dans Br γ .

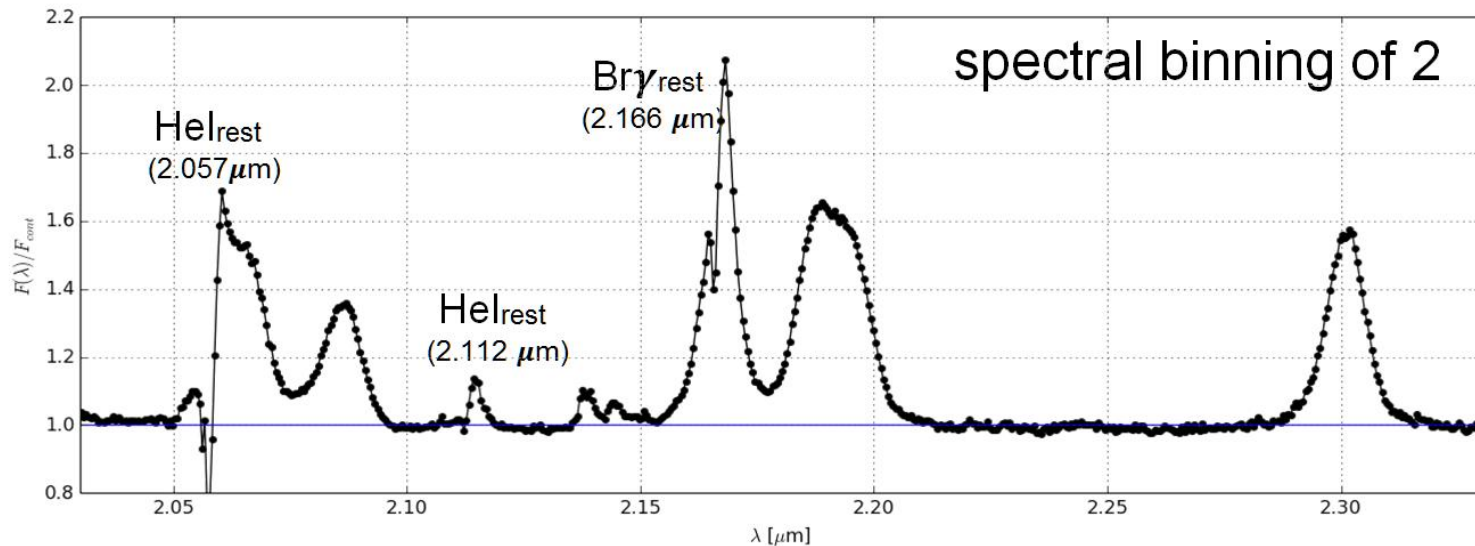
Binaire X : BP Cru



Morphologie de l'accrétion-éjection du μ -quasar SS433



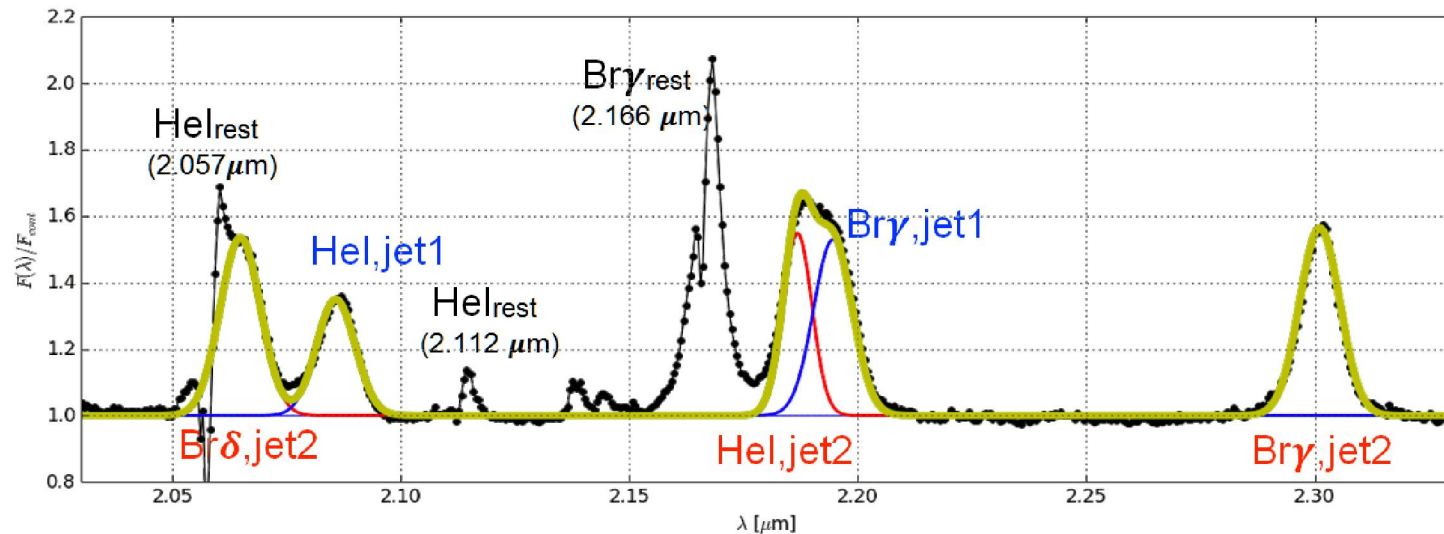
Observations de SS433 avec GRAVITY



Stationary lines

- Hel avec un P Cygni
- Br γ à double pic

Observations de SS433 avec GRAVITY

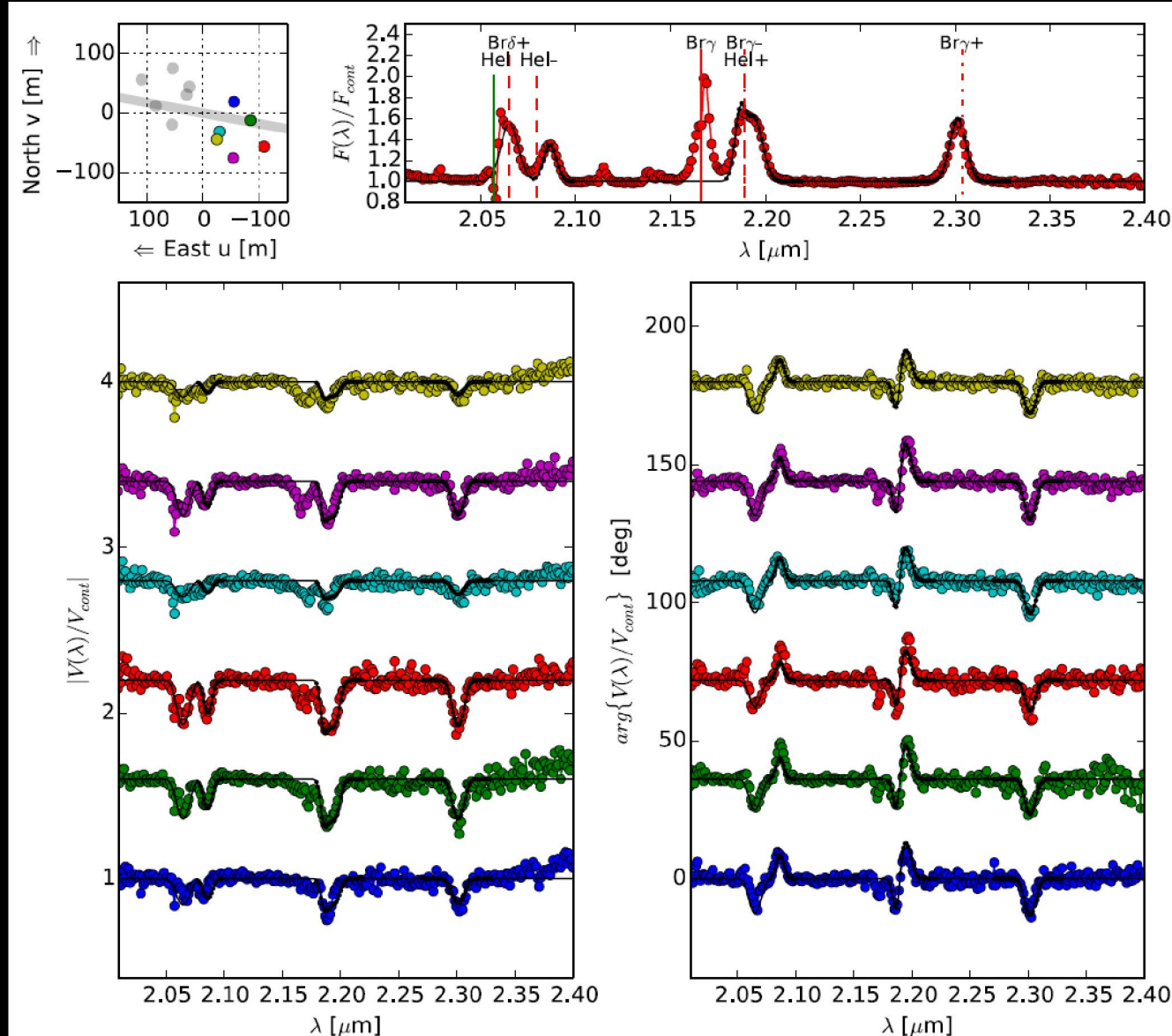


Jet lines

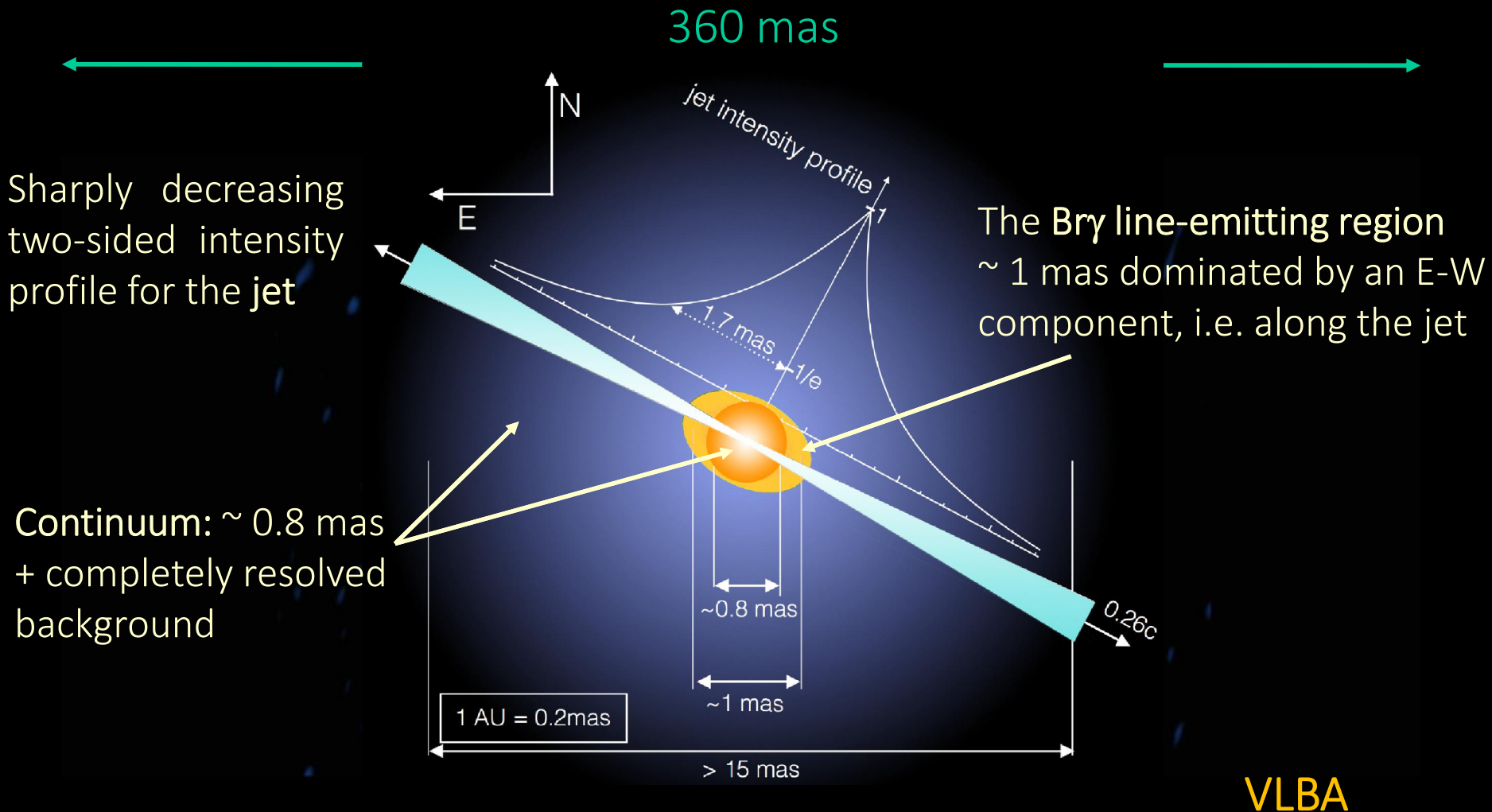
- Emission features agree with the jet line shifts expected at the observation date
- $\text{Br}\gamma$, HeI from jet1 and jet2 and $\text{Br}\delta$ from jet1

Name	Rest wavelength (μm)	Redshift	$FWHM$ (km s^{-1})	EW (\AA)
$\text{Br}\gamma_{\text{jet1}}$	2.166	0.0132	1364	56
$\text{Br}\gamma_{\text{jet2}}$	2.166	0.0624	1347	62
$\text{Br}\delta_{\text{jet2}}$	1.944	0.0622	1510	59
HeI_{jet1}	2.057	0.0140	1429	37
HeI_{jet2}	2.057	0.0631	1027	44

Observations de SS433 avec GRAVITY

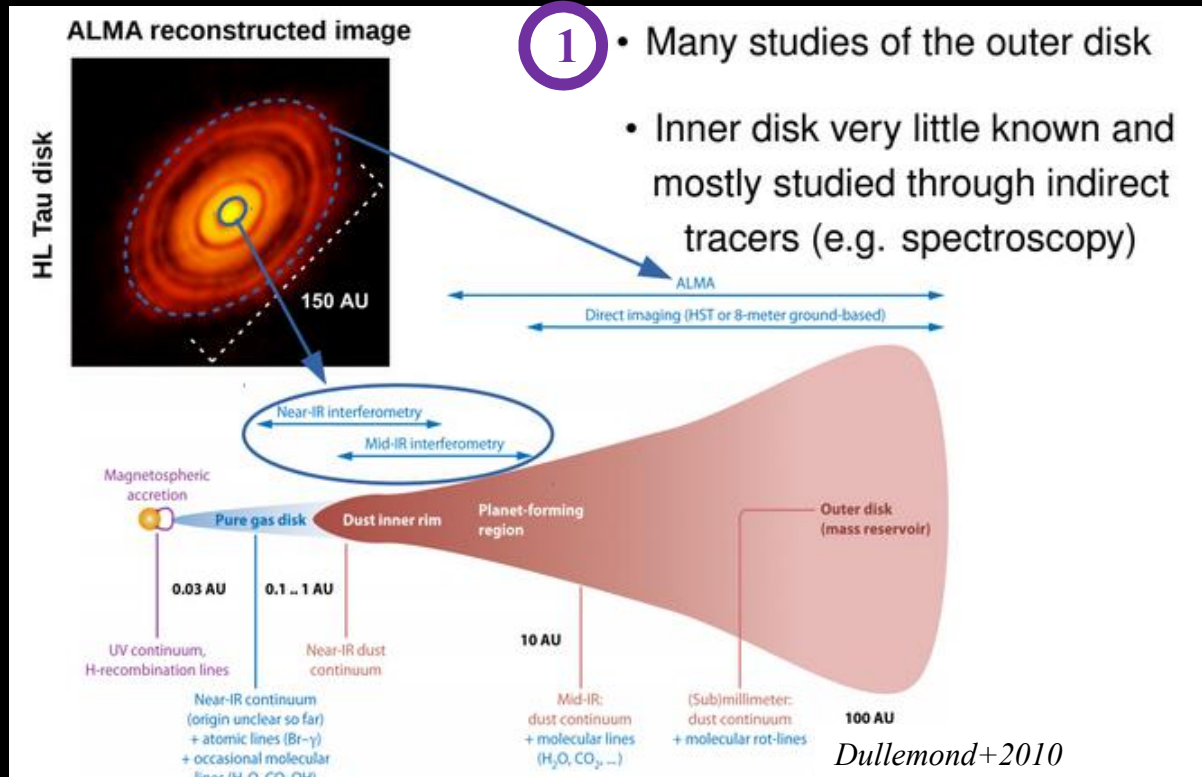


Observations de SS433 avec GRAVITY

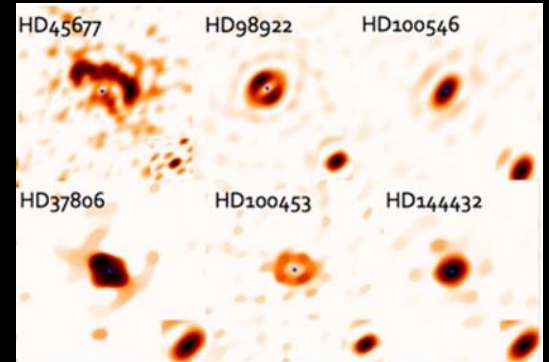


Grand programme objets jeunes GRAVITY

Motivations



- 2 PIONIER LP (~ 50 HAEBE)
- Variety of morphologies



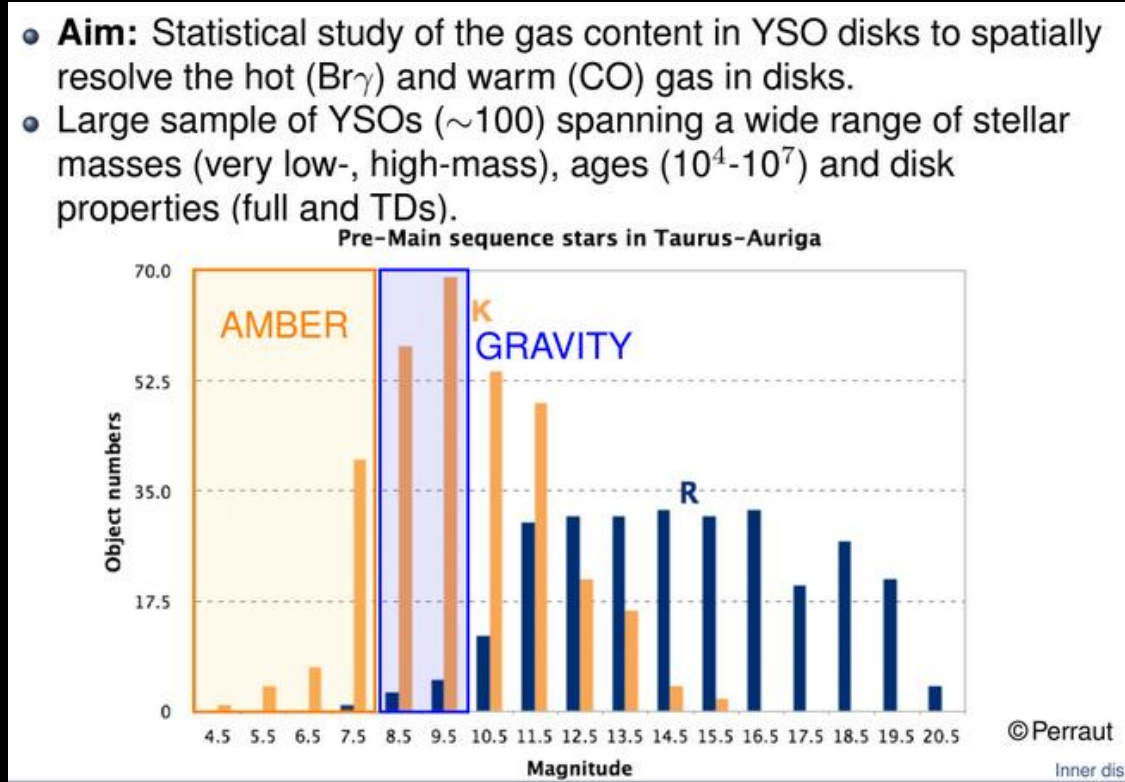
Kluska&Berger

- Sublimation front wide, smooth and wider than predicted (Lazareff+2017)

Grand programme objets jeunes GRAVITY

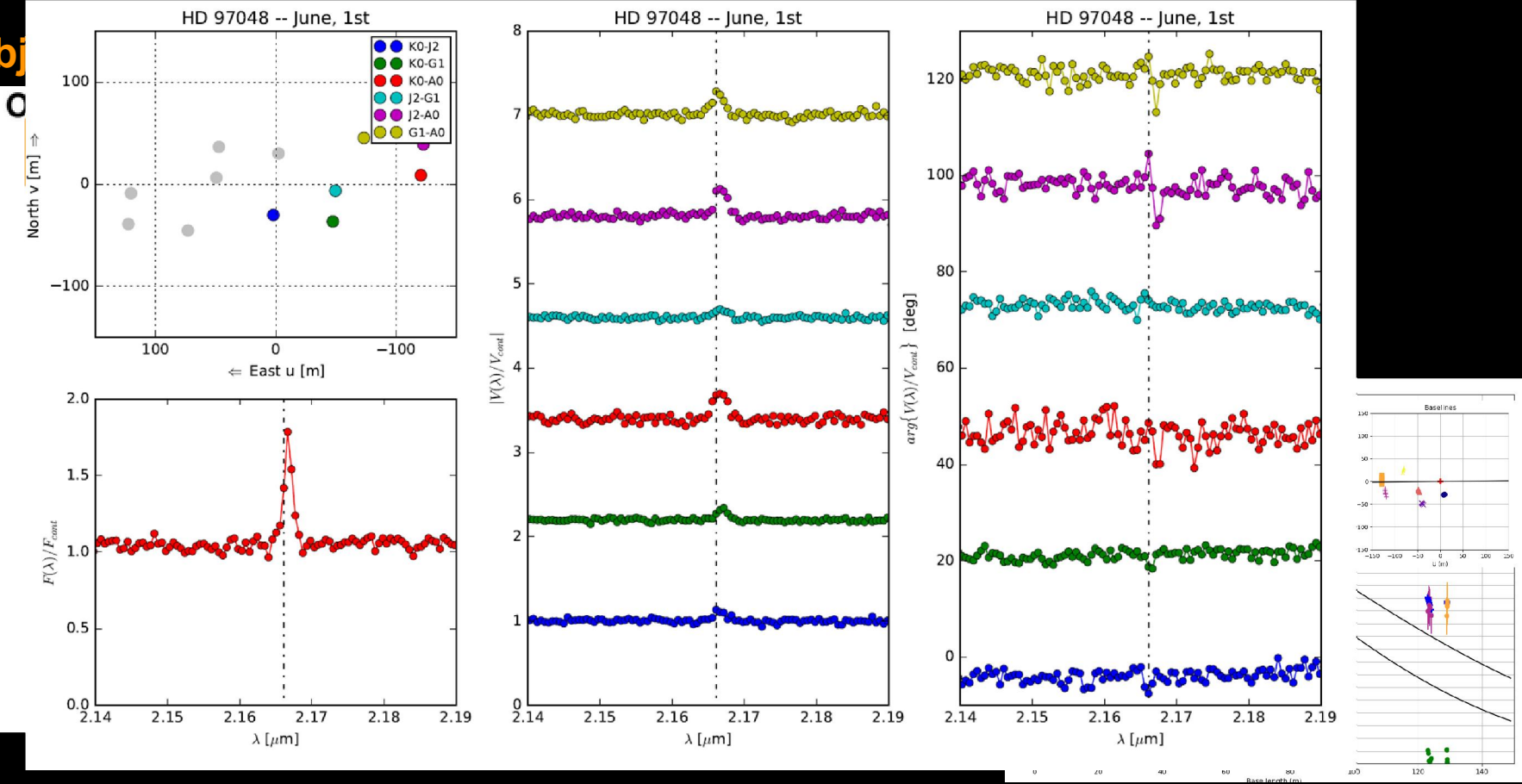
Objectifs

- **Aim:** Statistical study of the gas content in YSO disks to spatially resolve the hot ($\text{Br}\gamma$) and warm (CO) gas in disks.
- Large sample of YSOs (~ 100) spanning a wide range of stellar masses (very low-, high-mass), ages ($10^4\text{-}10^7$) and disk properties (full and TDs).



Grand programme objets jeunes GRAVITY

Obj

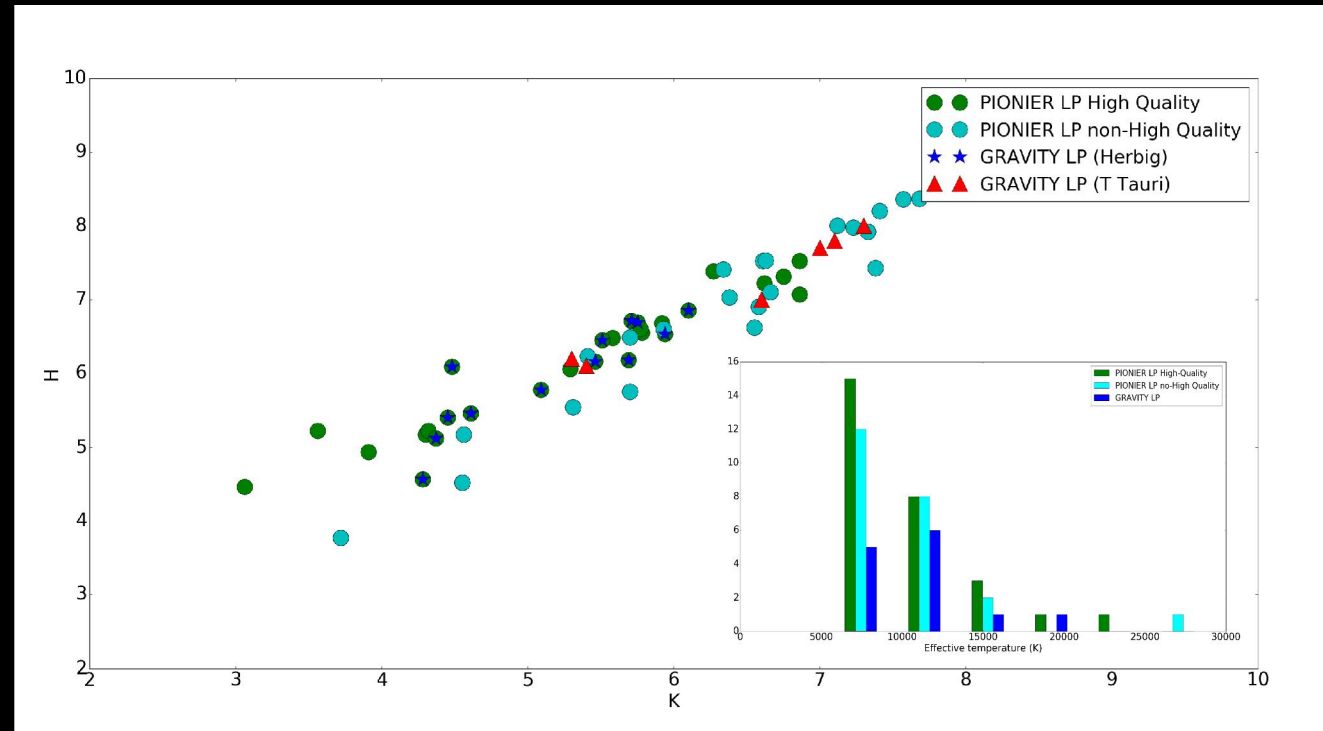


Grand programme objets jeunes GRAVITY

Situation actuelle

- Study of the continuum:
 - 15 HAEBE
 - 6 T Tauris

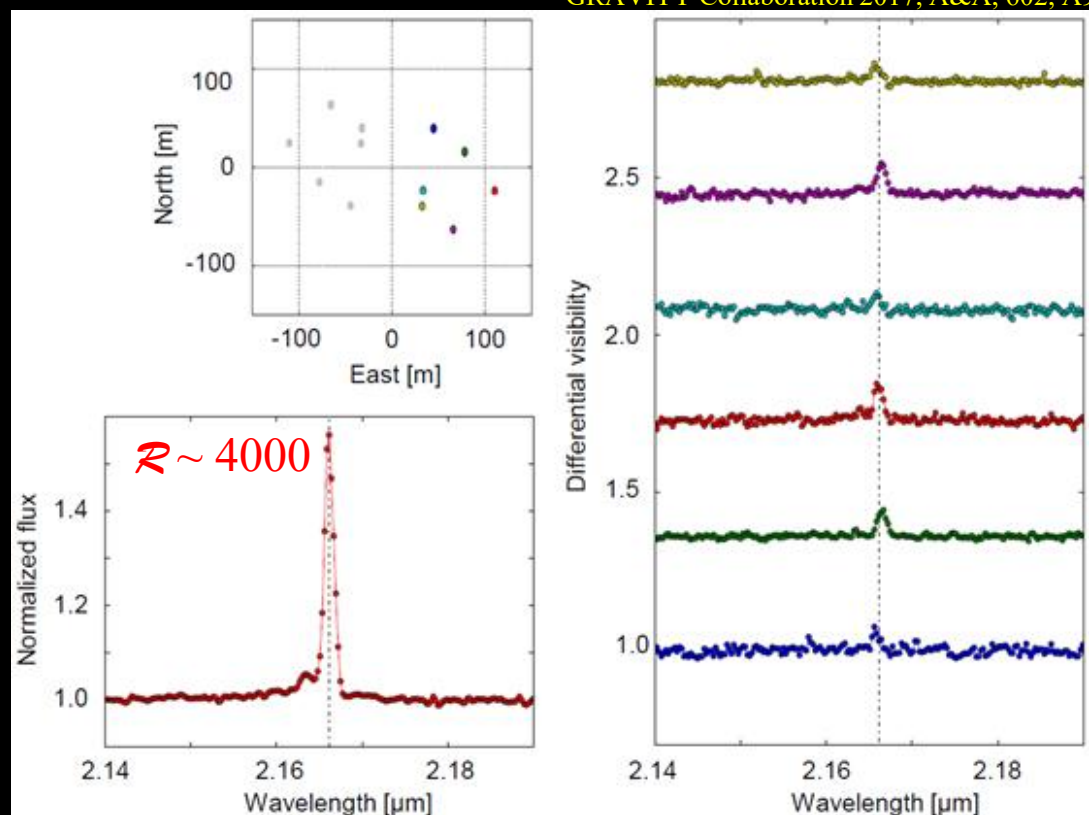
13 targets among the LP PIONIER sample
- Study of the Hydrogen:
 - 14 HAEBE
 - 5 T Tauris
- Study of the CO:
 - A few objects



GRAVITY observations of the T Tau twin system S CrA

- 2 CTTS that appear coeval
- K_North = 6.6
- K_south = 7.3
- d ~ 130 pc
- GRAVITY dual-field mode to resolve the circumstellar environment across the Bry line

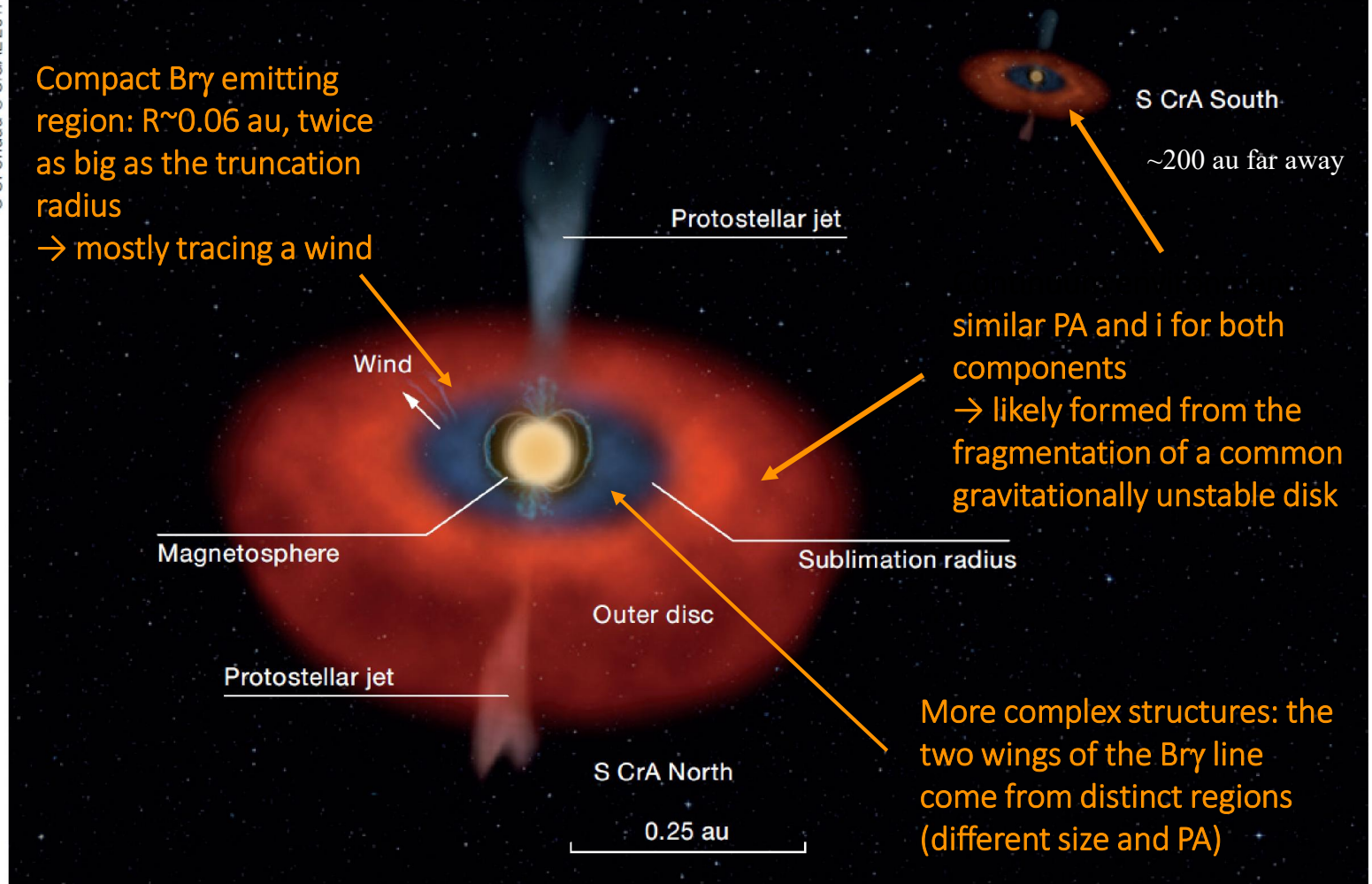
- Constraints on continuum
- Wind and magnetosphere on S CrA_North resolved at sub-au scale





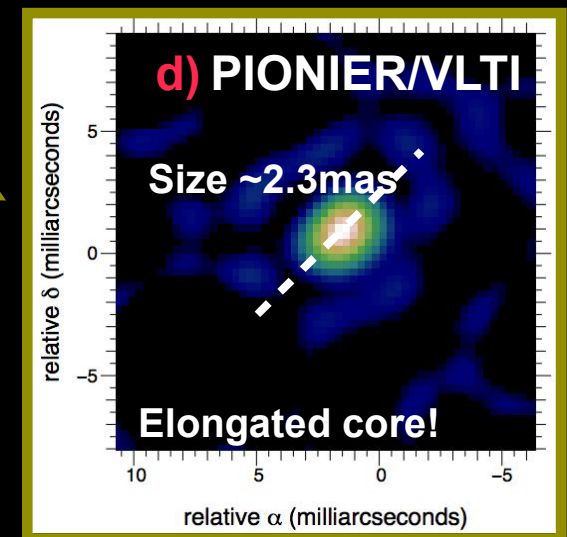
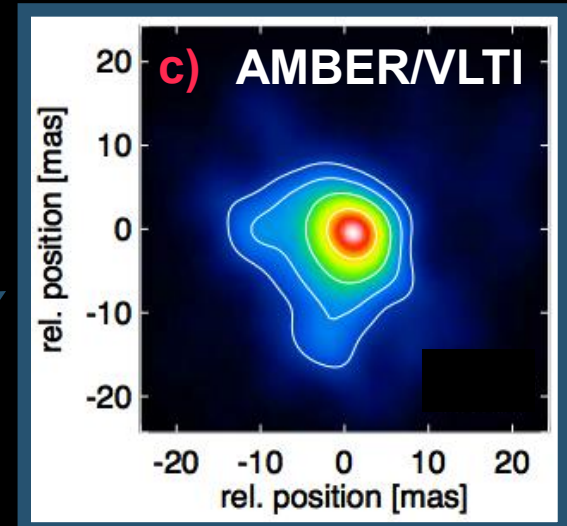
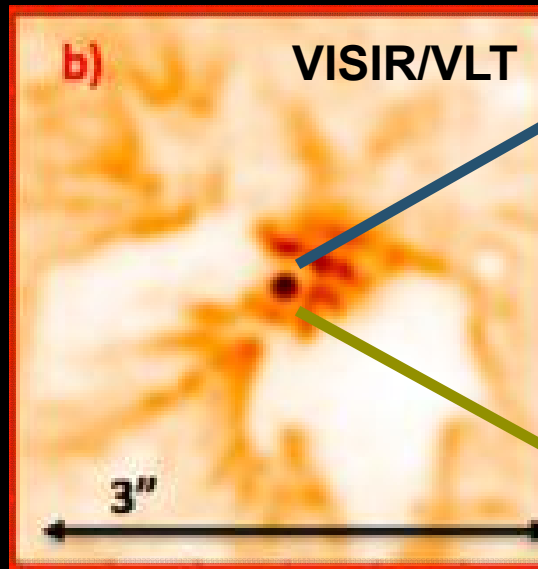
© S. Cnudde @ SIGAL 2017

Compact Bry emitting
region: $R \sim 0.06$ au, twice
as big as the truncation
radius
→ mostly tracing a wind



Imaging the core of η Car

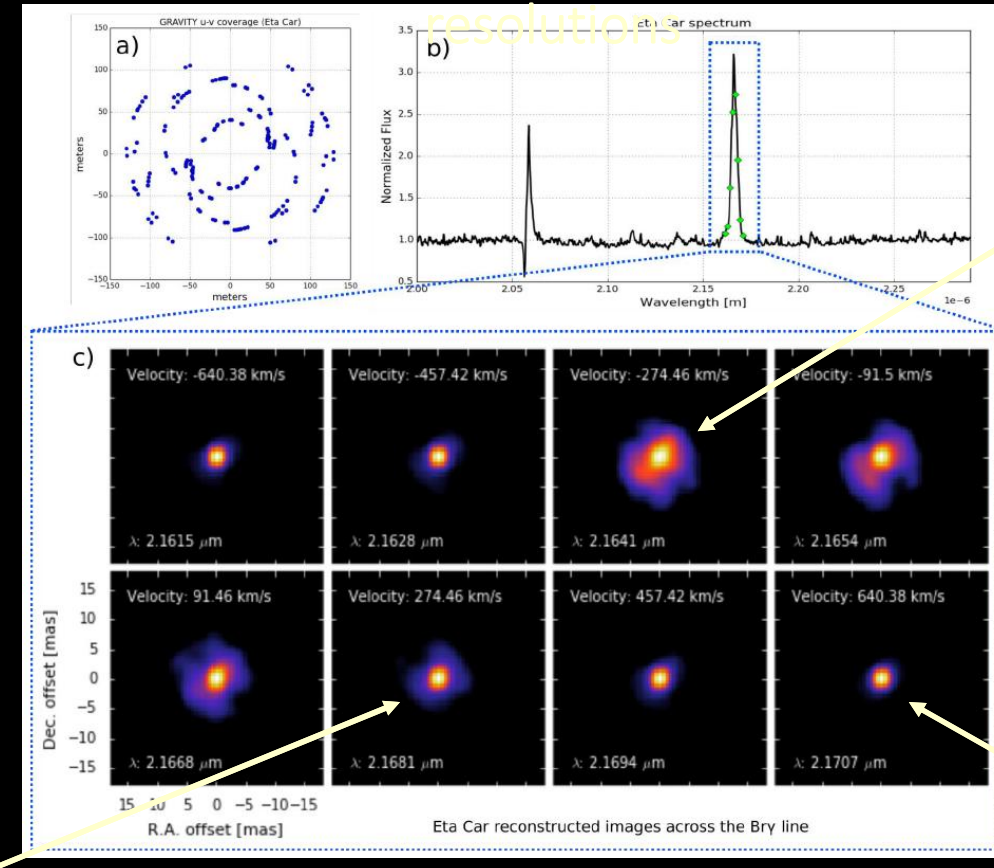
One of the best observable high-mass stars in our Galaxy



- $L \sim 5 \times 10^6 L_\odot$
- $M > 100 M_\odot$
- $\dot{M} \sim 8 \times 10^{-4} M_\odot/\text{yr}$
- $v_{\text{wind}} \sim 420 \text{ km/s}$

Observations d' η Car avec GRAVITY

Imagerie chromatique à hautes résolutions spatiales et spectrales ($R \sim 4000$)



Back side of the primary wind:
more compact structure

The images reveal the complex morphology of the primary wind and its interaction with the wind from the hidden secondary star.

Wind-wind
collision cavity:
15 mas, PA \sim S-E
direction

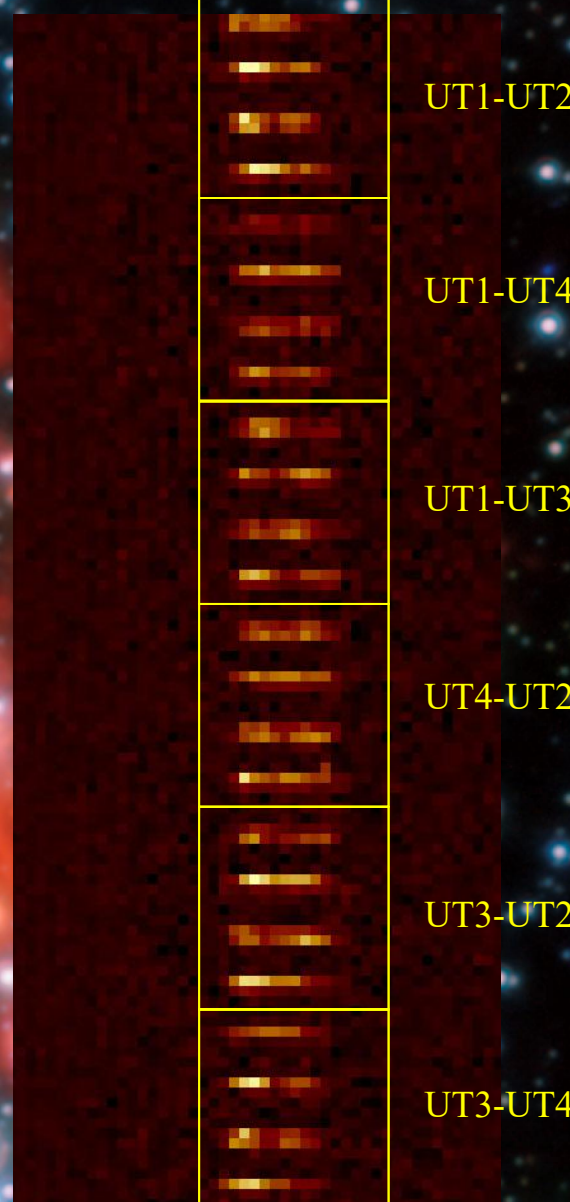
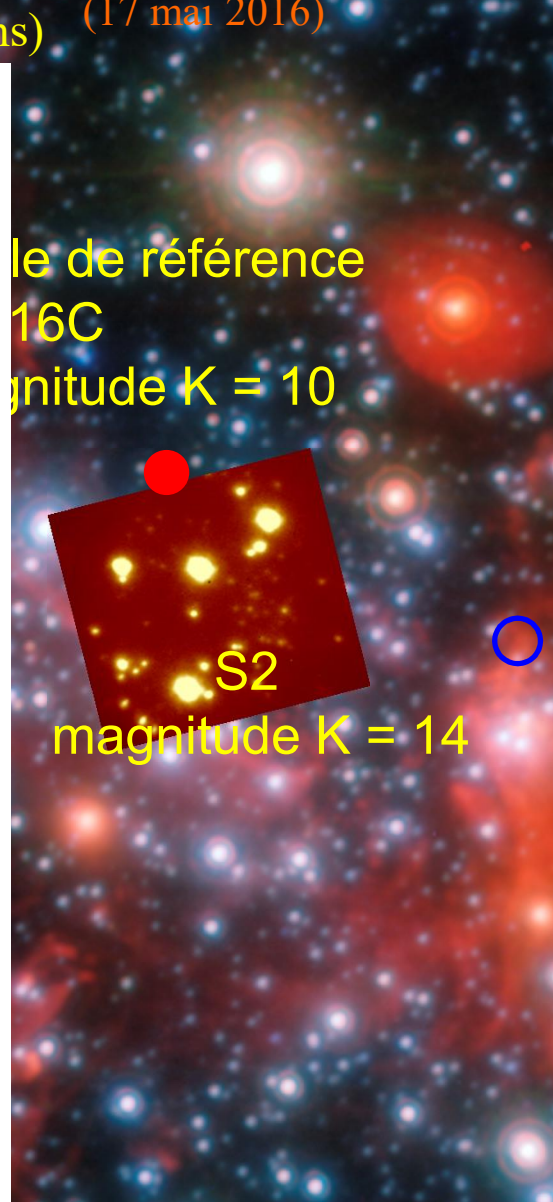
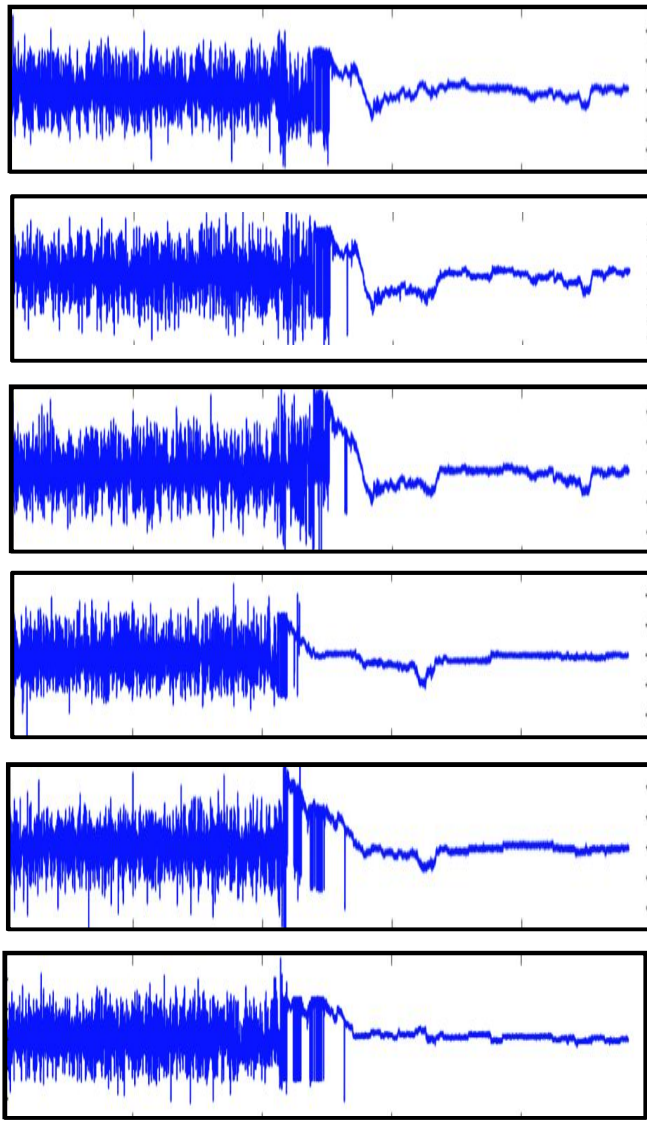
Optically-thick
primary wind:
compact structure
(~ 5 mas) position
PA $\sim 134^\circ$
(homunculus PA
 131°).

Mesures au Centre Galactique

Premières observations du Centre Galactique

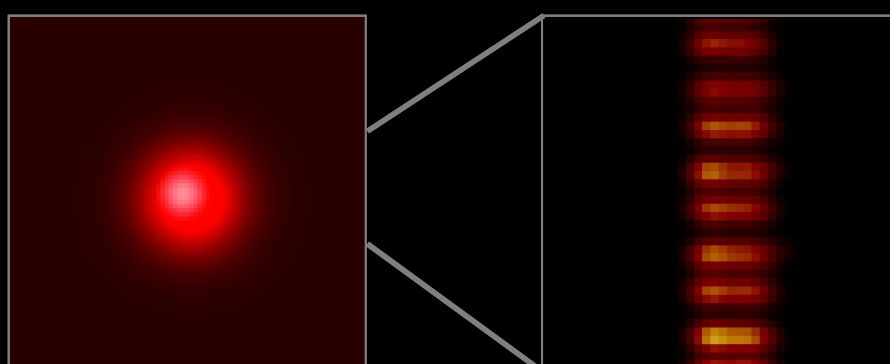
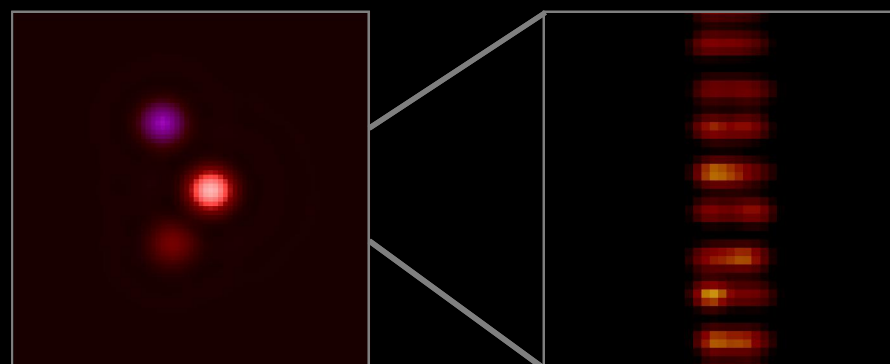
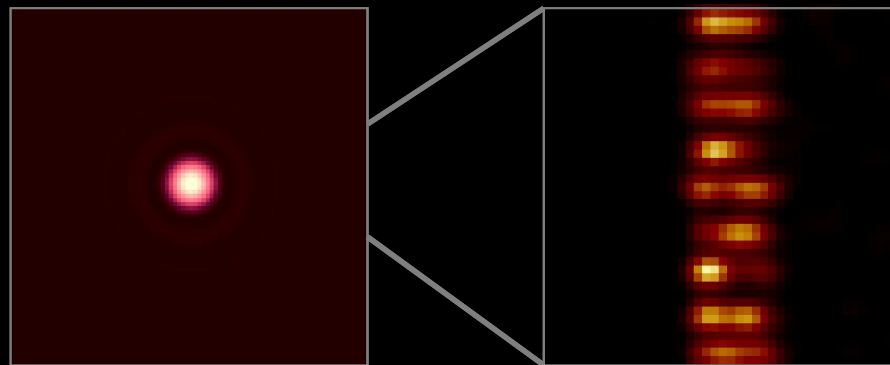
suivi de franges sur IRS16C ($\bullet/10 \text{ rms}$) (17 mai 2016)

Différence de marche

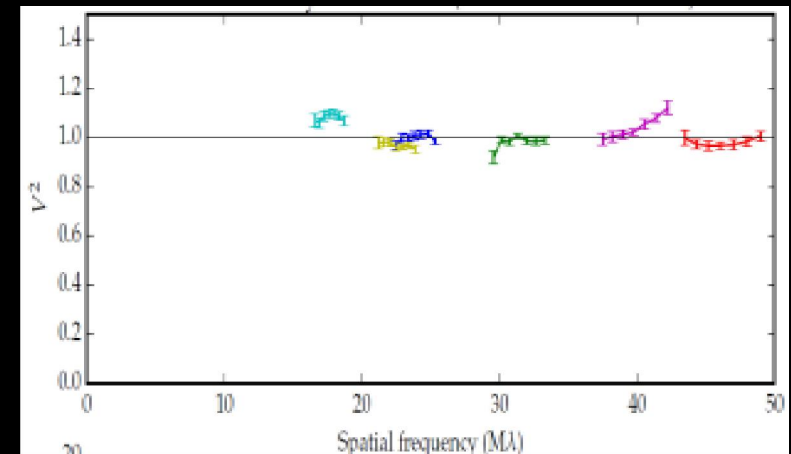


Observations de S2 en septembre 2016

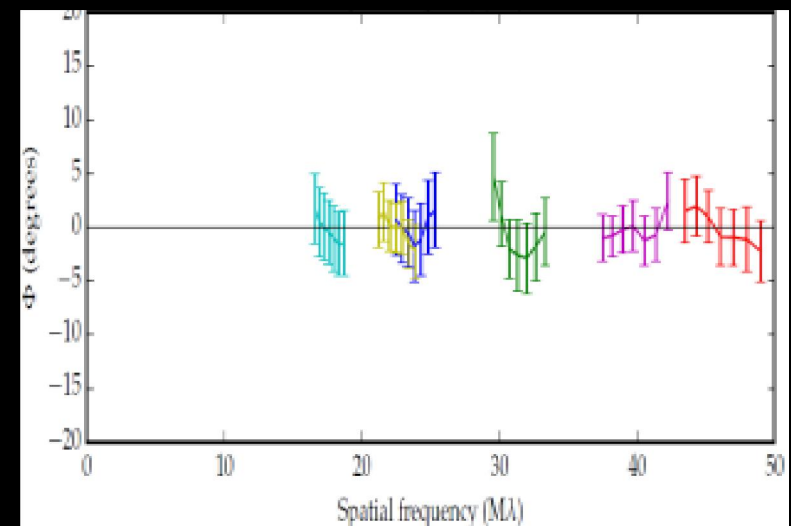
Visibilité des franges de S2



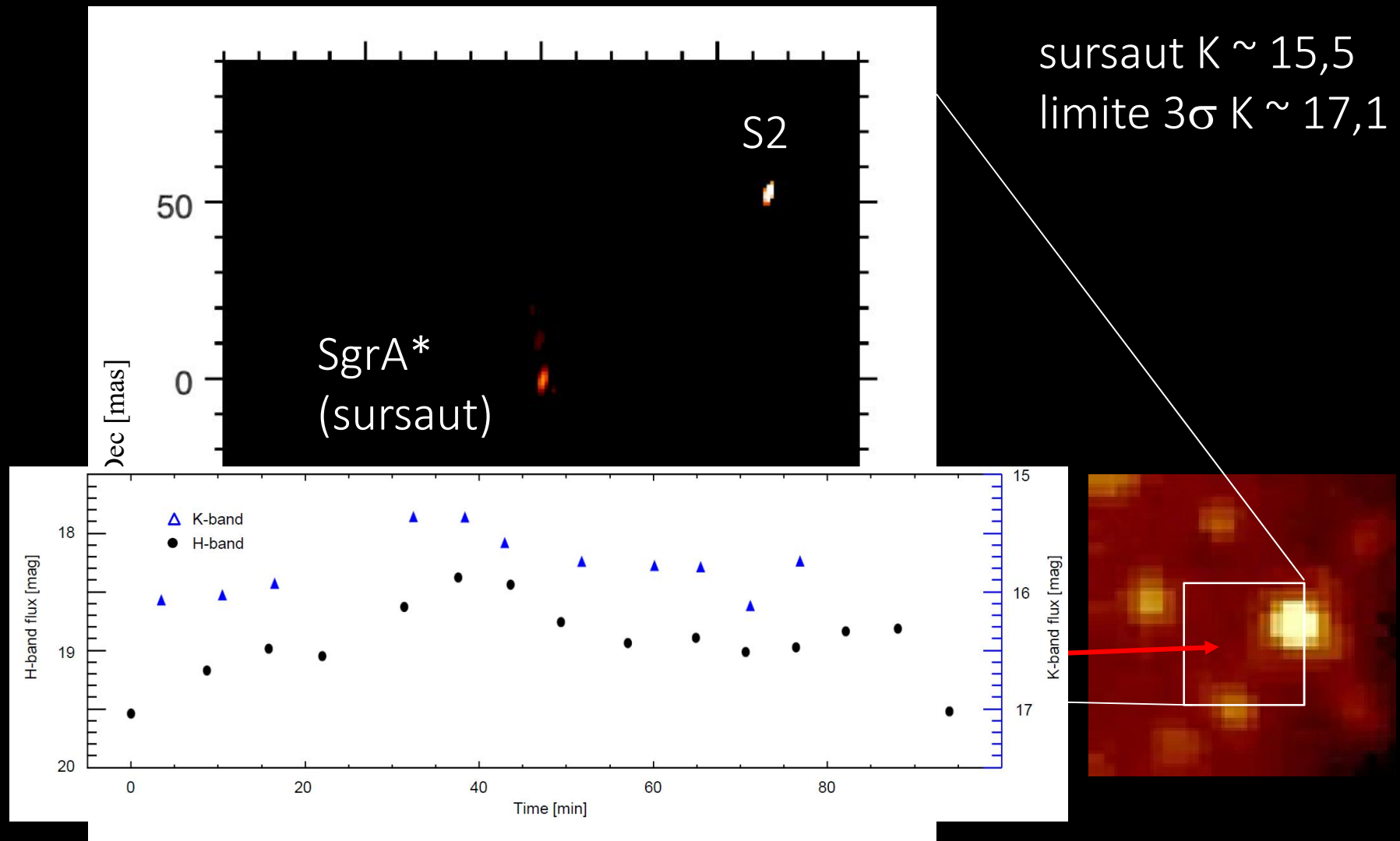
Analyse préliminaire de Pfuhl, Perrin +



Clôtures de phase de S2

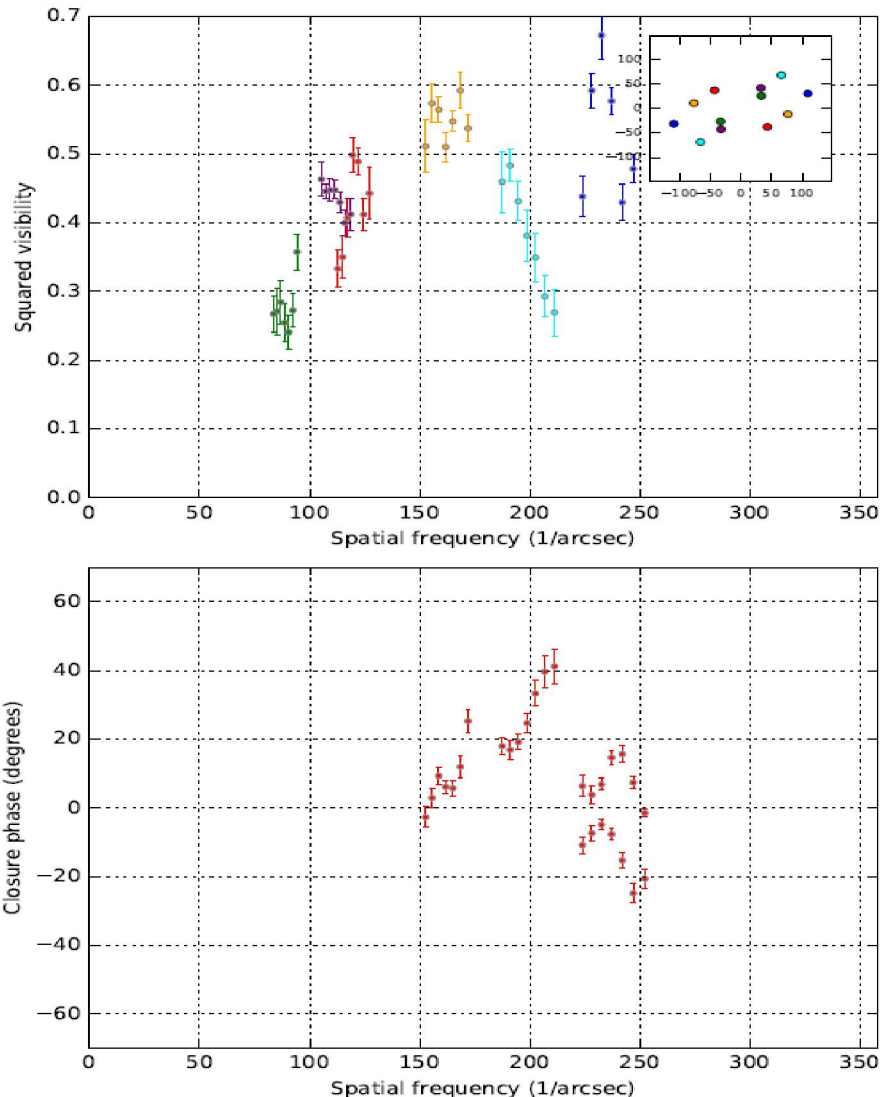


Première détection de Sgr A* en interférométrie infrarouge et premières images à l'échelle de $300 R_{\text{horizon}}$

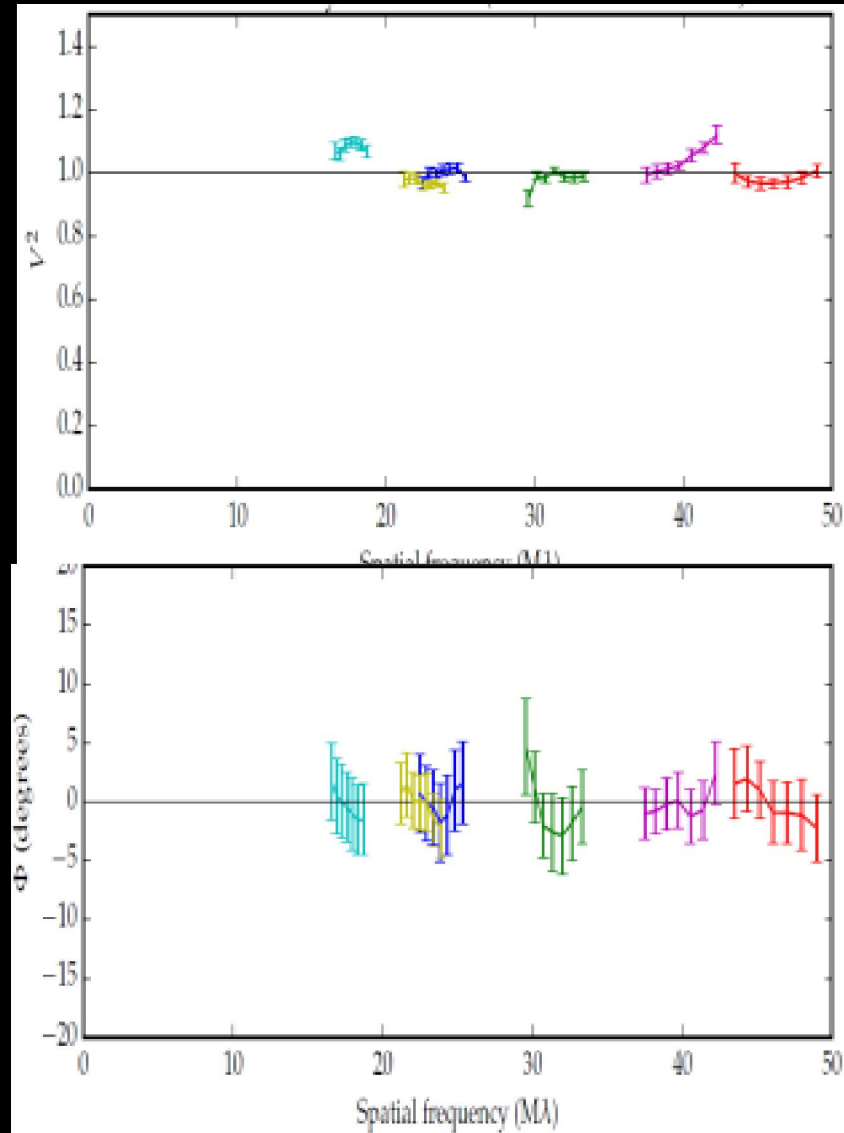


Comparaison entre S2 et Sgr A* (+S2)

Sgr A* (sursaut)

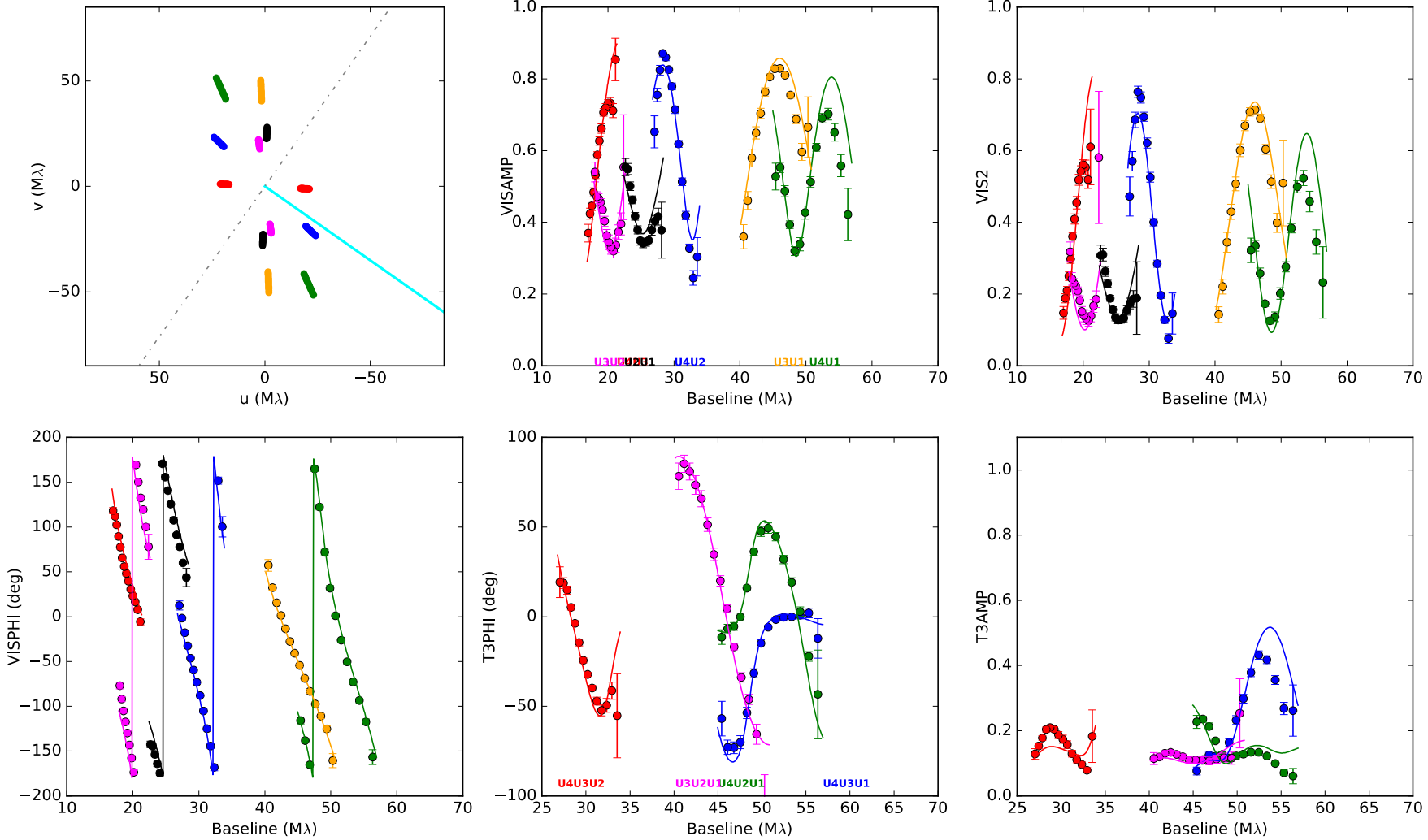


S2

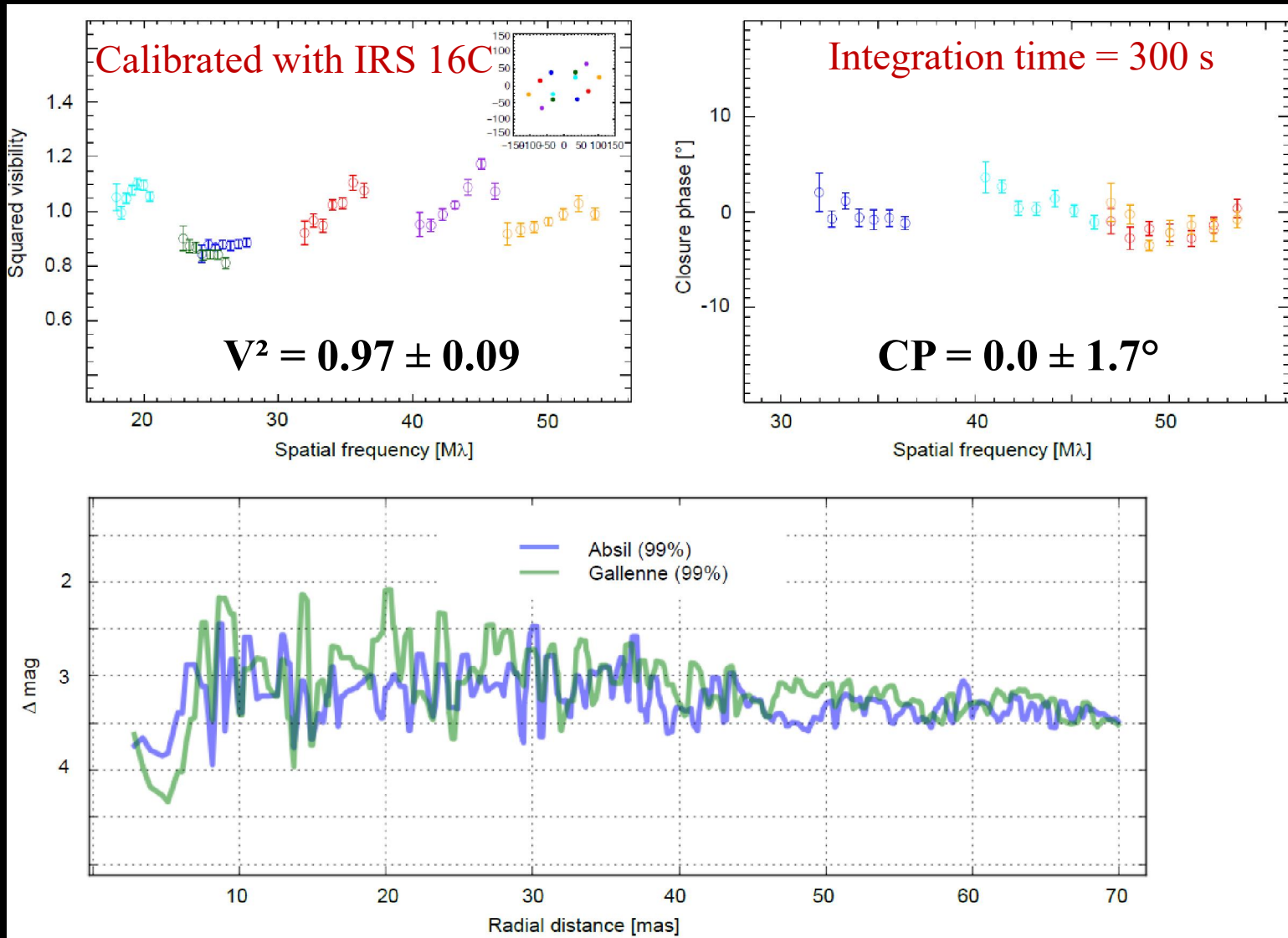


Ajustement des données Sgr A*/S2 par un modèle de binaire

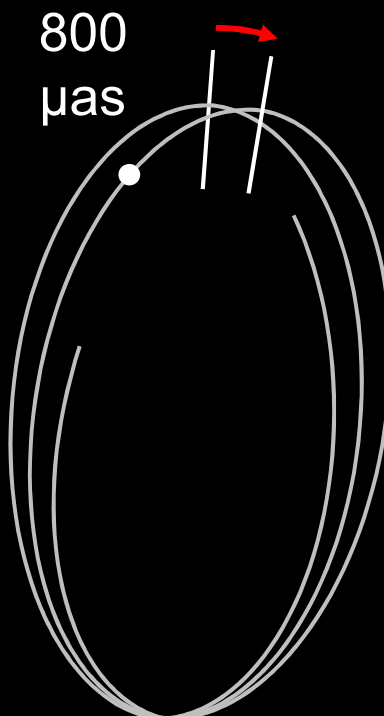
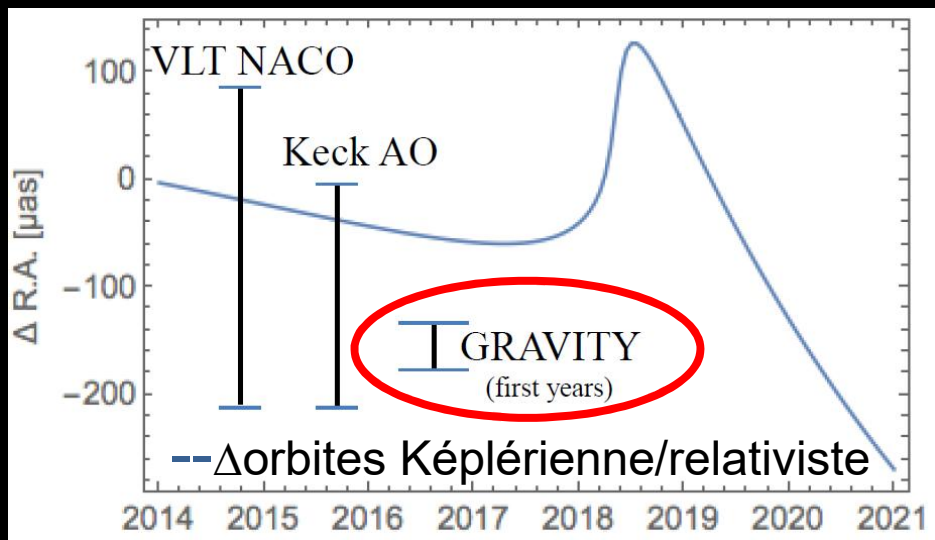
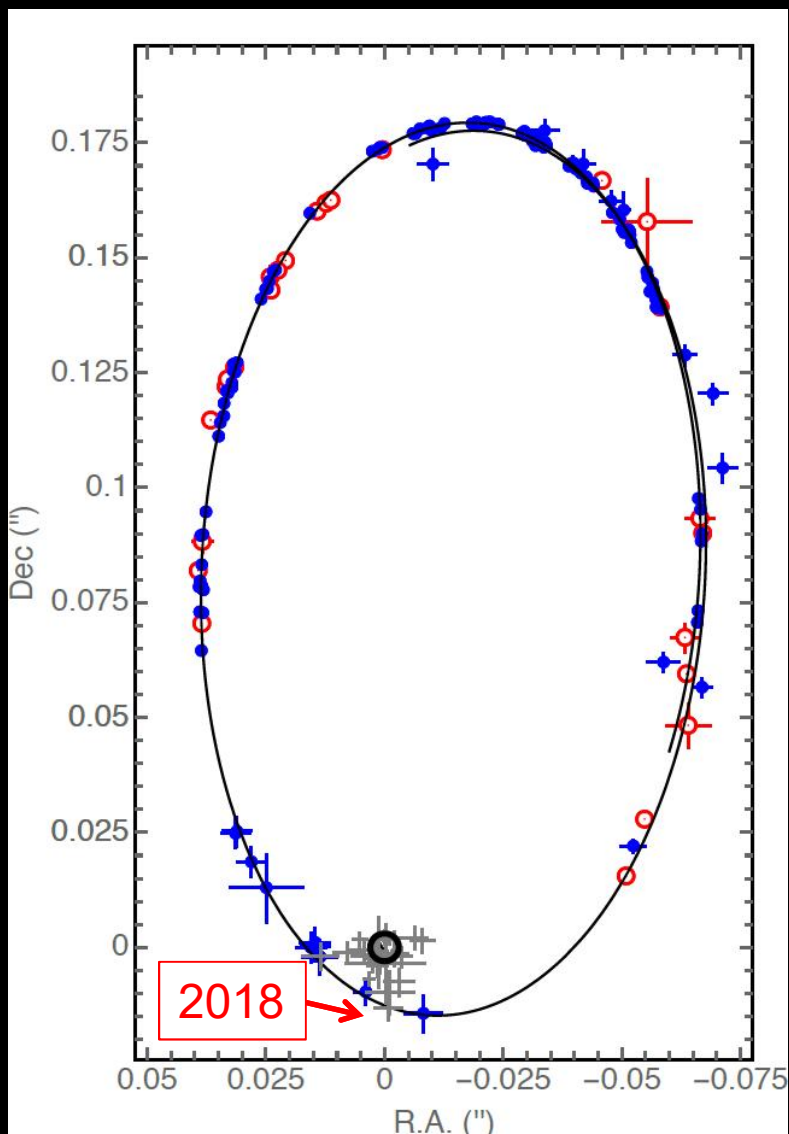
Binary fit -- GRAVI.2018-04-01T06:13:36.045 -- polarization P2
 $\chi^2=2828.02$, nddl=242.00, chi2red=11.69, AIC=2848.94
 $X_{\text{Sgr}} (\text{mas})=-0.23 \pm 0.08$, $Y_{\text{Sgr}} (\text{mas})=-0.83 \pm 0.05$, $X_{\text{S2}} (\text{mas})=-18.16 \pm 0.07$, $Y_{\text{S2}} (\text{mas})=-12.76 \pm 0.04$
 $F_{\text{S2/Sgr}} (\text{UT1})=2.79 \pm 0.39$, $F_{\text{S2/Sgr}} (\text{UT2})=2.13 \pm 0.28$, $F_{\text{S2/Sgr}} (\text{UT3})=2.04 \pm 0.19$, $F_{\text{S2/Sgr}} (\text{UT4})=2.35 \pm 0.27$
 $\alpha_{\text{Sgr}}=1.99 \pm 0.06$, F_{bg} (wrt Sgr)=0.36±0.04



Pas d'étoile plus brillante que K = 17,1 près de S2 et Sgr A*



S2 : mesurer la précession relativiste dès 2018 ?



Merci de votre attention !